

СССР
МИНИСТЕРСТВО ТРАНСПОРТНОГО СТРОИТЕЛЬСТВА
ВСЕСОЮЗНЫЙ ОРДЕНА ОКТЯБРЬСКОЙ РЕВОЛЮЦИИ
НАУЧНО-ИССЛЕДОВАТЕЛЬСКИЙ ИНСТИТУТ
ТРАНСПОРТНОГО СТРОИТЕЛЬСТВА

УТВЕРЖДАЮ
Зам. директора института
Г. Д. ХАСХАЧИХ
3 февраля 1988 г.

РЕКОМЕНДАЦИИ
ПО ПРИМЕНЕНИЮ ОПЕРЕЖАЮЩИХ ЭКРАНОВ ИЗ ТРУБ
ПРИ СООРУЖЕНИИ ТРАНСПОРТНЫХ ТОННЕЛЕЙ

Согласованы Главтоннельмостроем и Главтранспроектом

Москва 1988

УДК 624.195.22 (083.75)

**(c) Всесоюзный ордена Октябрьской Революции
научно-исследовательский институт
транспортного строительства, 1988**

ПРЕДИСЛОВИЕ

Настоящие Рекомендации разработаны в дополнение СНиП II-14-78 "Тоннели железнодорожные и автодорожные" и СНиП III-14-77 "Тоннели железнодорожные, автодорожные и гидротехнические" на основе комплекса теоретических и экспериментальных исследований, выполненных в отделении тоннелей и метрополитенов ЦНИИСа и кафедрой мостов и тоннелей МАДИ, а также результатов анализа опыта применения экранов из труб в сложных горно-геологических условиях на строительстве тоннелей БАМа и Севанского автодорожного тоннеля.

В Рекомендациях рассмотрена методика расчета опережающих экранов из труб.

Рекомендации разработаны кандидатами техн. наук В. Е. Меркиным, Д. И. Колиным, К. П. Безродным, В. Ф. Сарабеевым (ЦНИИС), С. Н. Власовым (Главтоннельметрострой), Л. В. Маковским (МАДИ), инженерами В. А. Бессоловым, Р. И. Касаповым (Бамтоннельстрой), Л. Б. Хавиним (Бамтоннель-проект), Ю. Ф. Симоновым (СКТБ Главтоннельметростроя), С. В. Чеботаревым (МАДИ).

Замечания просим направлять по адресу: 129329, Москва,
ул. Кольская, д. 1, ЦНИИС.

Зав. отделением
トンнелей и метрополитенов

В. Е. Меркин

I. ОБЩИЕ ПОЛОЖЕНИЯ

1.1. Настоящие Рекомендации предназначены для использования в проектных и строительных организациях Министерства транспортного строительства при выборе конструкции и расчете параметров опережающего экрана из труб, а также при составлении проекта производства работ по устройству защитного экрана, проходке под его прикрытием тоннельной выработки и возведению обделки тоннеля.

Применение Рекомендаций должно способствовать обоснованному выбору параметров конструкции временной крепи и технологий производства тоннелепроходческих работ, повышению качества и надежности защитного экрана и безопасности ведения работ под его защитой.

1.2. В Рекомендациях приведена методика расчета опережающих экранов из труб, учитывающая взаимное влияние элементов защитного экрана, деформативность грунта призабойной зоны; технологическую последовательность разработки забоя.

1.3. Рекомендации могут быть распространены на различные виды временной и постоянной крепи тоннельных выработок, которые используются в сочетании с защитными экранами из труб.

1.4. В Рекомендациях в основном использованы определения и условные обозначения, принятые в нормативной литературе по тоннелестроению.

2. ОБЛАСТИ ИСПОЛЬЗОВАНИЯ ОПЕРЕЖАЮЩИХ ЗАЩИТНЫХ ЭКРАНОВ ИЗ ТРУБ

2.1. Технология строительства тоннелей под защитой экранов из труб основана на использовании принципа опережающего крепления. До начала проходки по контуру будущего тоннеля создают защитную крепь (экран), под прикрытием которой осуществляют раскрытие выработки и возведение постоянной лесущей конструкции тоннеля.

В зависимости от геологических условий и в случае необходимости через трубы экрана может быть проведена укрепительная цементация грунтового массива.

2.2. Использование опережающих защитных экранов позволяет избежать паводков и обрушений грунта внутри выработки в процессе

проходки, стабилизировать окружающий выработку грунтовый массив и значительно снизить его деформации и нарушения.

2.3. Защитные экраны могут быть использованы при строительстве транспортных тоннелей горным и щитовым способами.

Применение их целесообразно при проходке:

тоннелей глубокого заложения и их участков в неустойчивых, слабоустойчивых грунтах, характеризующихся коэффициентом крепости по М.М.Протодьяконову $f < 2$, а также в сильнотрешиноватых грунтах средней устойчивости в том числе при проходке зон тектонических разломов и сбросов;

портальных участков (врезок) тоннелей, когда склоны сложены сильнотрешиноватыми или оползнеопасными грунтами;

тоннелей под путями железнодорожных дорог, автомагистралями, крупными инженерными сооружениями.

3. КОНСТРУКЦИИ ЗАЩИТНЫХ ЭКРАНОВ ИЗ ТРУБ

3.1. Защитный экран состоит из труб и поддерживающих элементов.

3.2. Для создания защитных экранов используют преимущественно стальные трубы диаметром 95–500 мм (ГОСТ 10704–76, ГОСТ 8732–78), полые или заполненные бетоном или цементным раствором.

Труба требуемой длины составляется из отдельных звеньев длиной 1,5–6,0 м, соединяемых между собой сваркой или свинчиванием. Смежные трубы могут объединяться при помощи замковых устройств и направляющих.

3.3. Трубы защитного экрана размещают с зазором одна относительно другой или плотную. При наличии значительного горного давления возможно создание защитного экрана из нескольких рядов труб.

3.4. Для закрепления крупнопористых или сильнотрешиноватых грунтов используют перфорированные трубы и, нагнетая в них цементный раствор, создают в грунте несущую трубоцементно-грунтовую оболочку.

3.5. Трубы защитного экрана размещают по своду и стенам выработки, а в исключительных случаях – по всему контуру, включая лотковую часть.

3.6. В качестве поддерживающих элементов используют:

стальные арки;

анкеры в сочетании с поперечными подхватами;
стальные арки в сочетании с анкерами;
арки, омоноличенные бетоном;
арочно- или анкеронарызг-бетонную крепь;
монолитную бетонную или железобетонную обделку;
сборную железобетонную или чугунную обделку (при щитовом
способе).

3.7. Параметры элементов защитного экрана (диаметр и толщина стенок труб, величина зазора между трубами, номер профиля и шаг поддерживающих элементов) определяются расчетом.

4. РАСЧЕТ ЭЛЕМЕНТОВ ЗАЩИТНОГО ЭКРАНА

4.1. Для определения параметров защитного экрана, если в грунте вокруг выработки не образуется зона неупругих деформаций (нарушенная зона или свод обрушения), рекомендуется использовать методику расчета, учитывающую совместное деформирование элементов системы "крепь - грунт". Эта методика реализована программой "Труба" на языке Фортран для ЭВМ серии ЕС.

4.2. При образовании в грунтовом массиве зоны неупругих деформаций защитный экран из труб рассчитывают на заданные нагрузки от веса грунта нарушенной зоны в соответствии с Методическими рекомендациями¹. При этом следует использовать методику расчета, основанную на анализе работы элементов защитного экрана по отдельности с учетом их взаимного влияния друг на друга.

4.3. Статическая схема расчета поддерживающего элемента представлена на рис. I.

Величины усилий, воспринимаемых защитным экраном, определяются опытным путем или в предположении сводообразования в безотпорной зоне (в соответствии со СНиП П-44-78) и действия составляющих бытового давления в зоне упругого отпора.

Для учета деформаций поддерживающих элементов вводится коэффициент упругой податливости опирания труб

$$\delta_{rp,i} = \frac{\Delta_{rp,i}}{P_i} . \quad (I)$$

I

Методические рекомендации по расчету временной крепи тоннельных выработок". М., ЦНИИС, 1984.

где $\Delta_{n,i}$ и P_i - соответственно смещение поддерживающего элемента и сосредоточенное усилие в месте опирания i -й трубы на поддерживающий элемент.

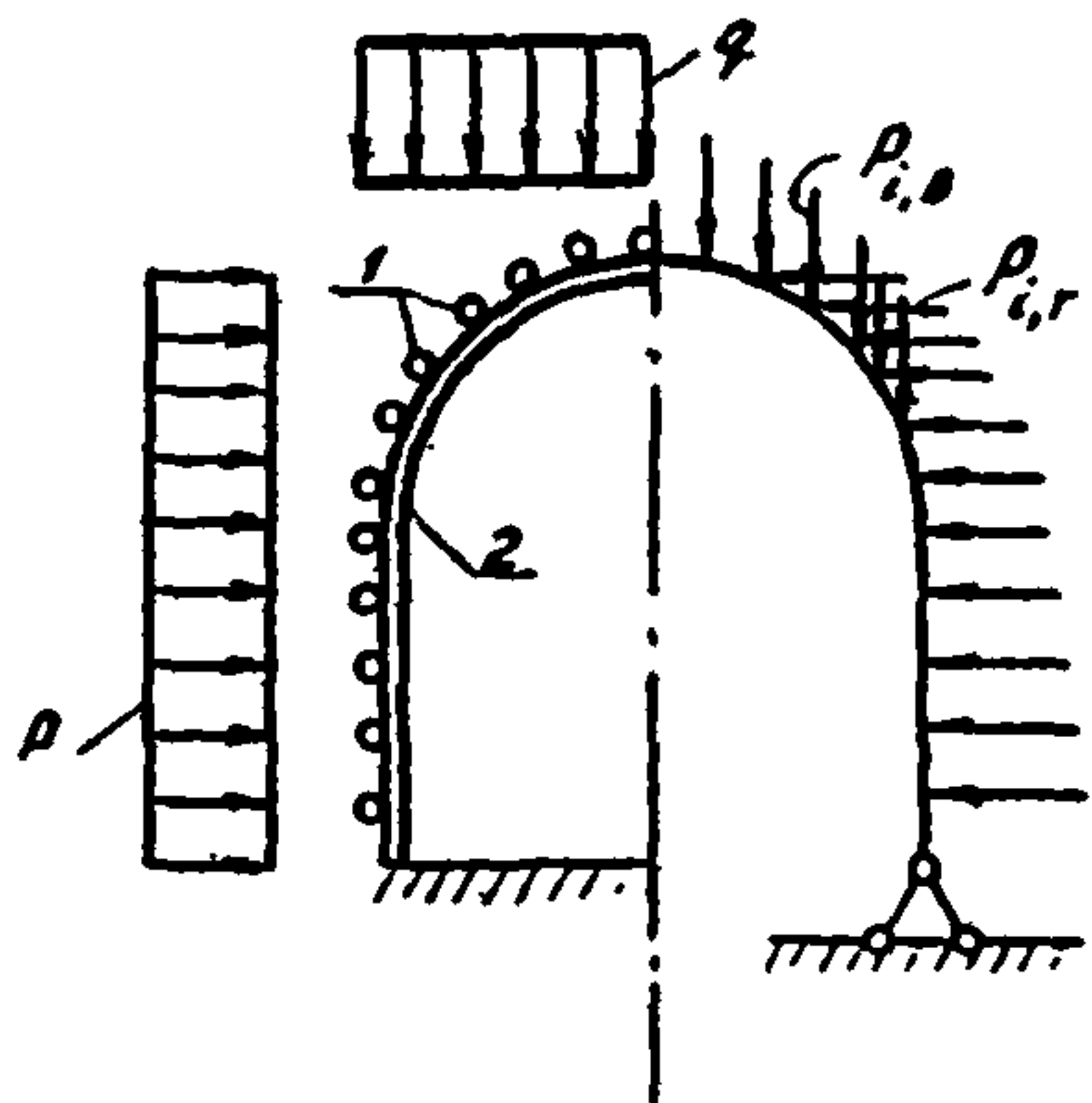


Рис. I. Статическая схема расчета поддерживающего элемента:
1 - стальная труба;
2 - поддерживающий элемент;
 q и p - интенсивности распределенного вертикального и бокового давления грунта;
 $P_{i,v}$ и $P_{i,r}$ - вертикальная и боковая составляющие сосредоточенного усилия, воспринимаемого i -й трубой

В процессе конструирования вначале следует определять величину коэффициента упругой податливости опирания труб для расстояния между осями труб 1 м ($\delta_{1,0}$). тогда для любого шага труб

$$\delta_\alpha = \frac{\delta_{1,0}}{\alpha}, \quad (2)$$

где $a = \frac{a' + a''}{2}$ - расчетное расстояние между осями труб;
 a', a'' - расстояния между осями рассматриваемой трубы и смежных труб слева и справа от рассматриваемой.

Для составных поддерживающих элементов (съединенных или строенных арок)

$$\delta^{(m;\alpha)} = \frac{\delta^{(1;1,0)}}{m \cdot \alpha}, \quad (3)$$

где $\delta^{(m;\alpha)}$ и $\delta^{(1;1,0)}$ - коэффициенты для поддерживающего элемента, состоящего соответственно из m и одного элемента определенного сечения.

При опирании поддерживающего элемента на грунт должна быть учтена деформация грунта под пятами поддерживающего элемента

$$\delta_{gr,i} = \frac{\Delta_{n,i}}{P_i}, \quad (4)$$

где $\delta_{gr,i}$ – коэффициент упругой податливости опирания поддерживающего элемента на грунт для i -й трубы экрана;
 $\Delta_{n,i}$ – перемещение пяты поддерживающего элемента в направлении, параллельном перемещению i -й трубы экрана.

При определении податливости опирания труб на стальные арки должны быть учтены деформации подклинивающих прокладок, устанавливаемых между трубами и арками:

$$\delta_n = \frac{h_n}{E_n F_n}, \quad (5)$$

где δ_n – коэффициент упругой податливости опирания трубы на подклинивающую прокладку;
 h_n – начальная высота прокладки;
 E_n – модуль деформации материала прокладки;
 F_n – площадь контакта прокладки и трубы
Суммарная величина коэффициента упругой податливости опирания трубы на поддерживающий элемент определяется выражением

$$\delta_{op} = \delta_i + \delta_{gr,i} + \delta_n \quad (6)$$

4.4. При использовании в качестве поддерживающих элементов анкеров в сочетании с поперечными подхватами коэффициент упругой податливости опирания трубы определяется следующим образом:

$$\delta = \delta_r + \delta_{nop}; \quad (7)$$

$$\delta_r = \frac{\ell_r}{E_r F_r} n = \delta'_r n; \quad (8)$$

$$\delta_{nop} = \frac{5 \alpha_a^3}{384(EJ)_{nop}} \cdot n = \delta'_{nop} n; \quad (9)$$

$$\delta = \left(\frac{l_r}{E_r F_r} + \frac{5 \alpha_a^3}{384(EJ)_{\text{поп}}} \right) n = (\delta'_r + \delta'_{\text{поп}}) n, \quad (I0)$$

где δ_r и $\delta_{\text{поп}}$ - коэффициенты упругой податливости опирания трубы на тяж анкера и поперечный подхват;

l_r - длина тяжа анкера;
 E_r - модуль упругости материала тяжа анкера;
 F_r - площадь поперечного сечения тяжа анкера;
 n - количество труб в пролете поперечного подхвата;
 α_a - поперечный шаг анкера;
 $(EJ)_{\text{поп}}$ жесткость подхвата.

На рис. 2 и 3 представлены графики для определения δ'_r и $\delta'_{\text{поп}}$.

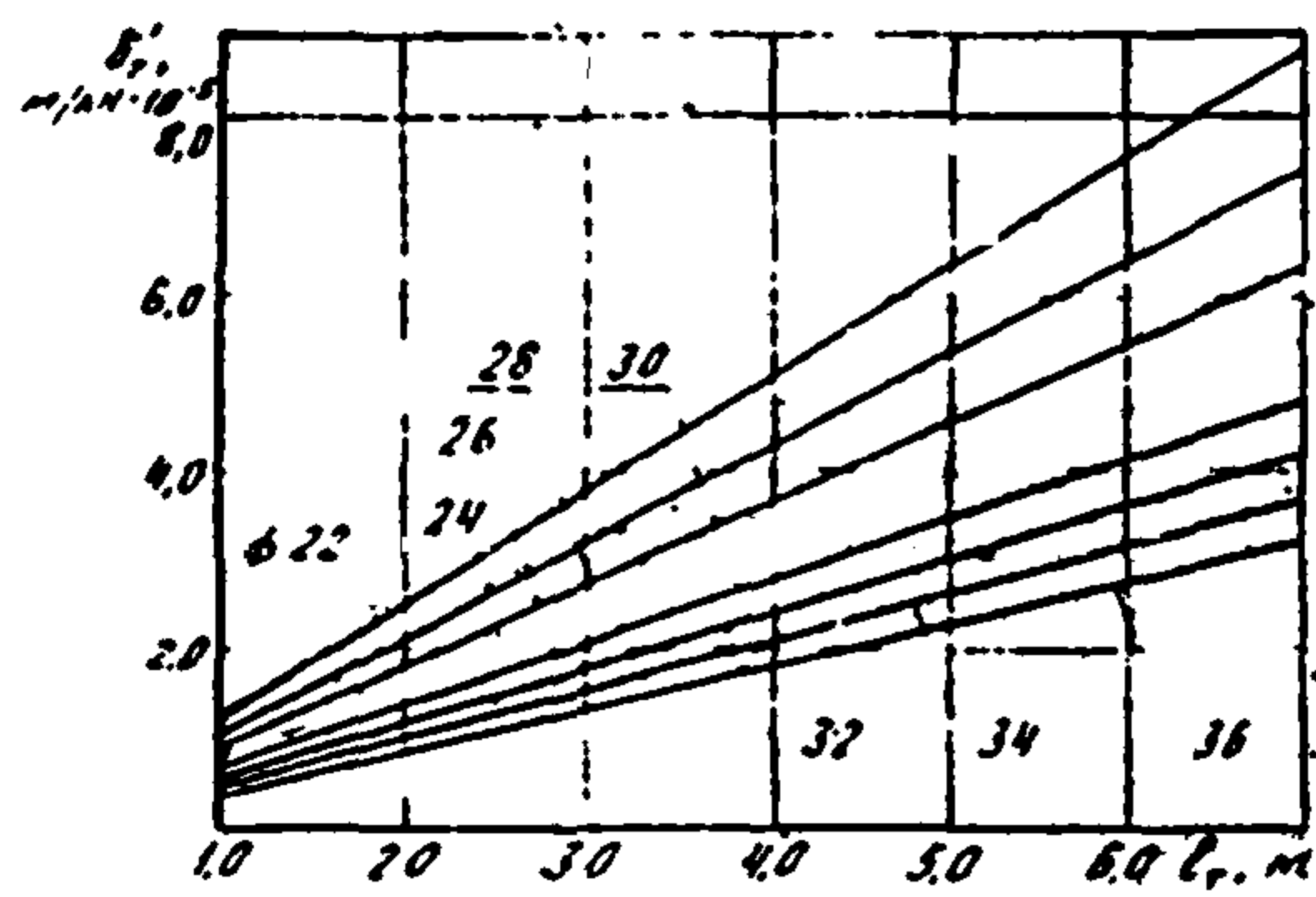


Рис.2. График для определения коэффициента упругой податливости тяжа

и границы между II и III зонами можно воспользоваться уравнением (I3).

$$C + \gamma h_i (\cos^2 \alpha_i \operatorname{tg} \varphi - \frac{1}{2} \sin 2 \alpha_i) = 0; \quad (II)$$

$$C + (\gamma h_i + R_i) \left\{ \cos^2 \alpha_i \operatorname{tg} \varphi + \sin \alpha_i \operatorname{tg}^2 (45^\circ - \varphi_k/2) \times (I2) \right. \\ \left. \times \left[\frac{\arctg(l_{i,ii}/h_i)}{\pi/2 - \varphi} (\cos \alpha_i + \sin \alpha_i \operatorname{tg} \varphi) - 1 \right] \right\} = 0;$$

4.5. В призабойном грунтовом массиве в общем случае могут быть выделены три характерные зоны (рис.4):

Границы между I и II зонами следует определять по уравнению (II), а между II и III зонами - по уравнению (I2). При ориентировочном расчете, когда глубина заложения тяжеля превышает 140 м, для определе-

$$\cos^2 \alpha_i \operatorname{tg} \varphi - \sin \alpha_i \operatorname{tg}^2(45^\circ - \varphi_k/2) = 0, \quad (I3)$$

где C – удельное сцепление грунта;
 γ – удельный вес грунта;
 φ, φ_k – действительный и кажущийся углы внутреннего трения грунта;
 α_i – угол наклона рассматриваемой площадки к горизонту;
 h_i – вертикальное расстояние от рассматриваемой площадки до верха выработки;
 $l_{i,\bar{i}}$ – горизонтальное расстояние от верха границы между I и II зонами до рассматриваемой площадки;
 R_i – реакция, передаваемая трубами защитного экрана на грунт над i -й площадкой.

Уравнения решают относительно неизвестного угла α_i . Определение границ между зонами ведут поэтапно, снизу вверх, путем определения углов наклона площадок сдвига, имеющих длину I м.

В случае, если в уравнении (12) величина $\operatorname{arctg}(l_{i,\bar{i}}/h_i) \geq (\pi/2 - \varphi)$, вместо выражения $\frac{\operatorname{arctg}(l_{i,\bar{i}}/h_i)}{\pi/2 - \varphi}$ следует подставлять 1.

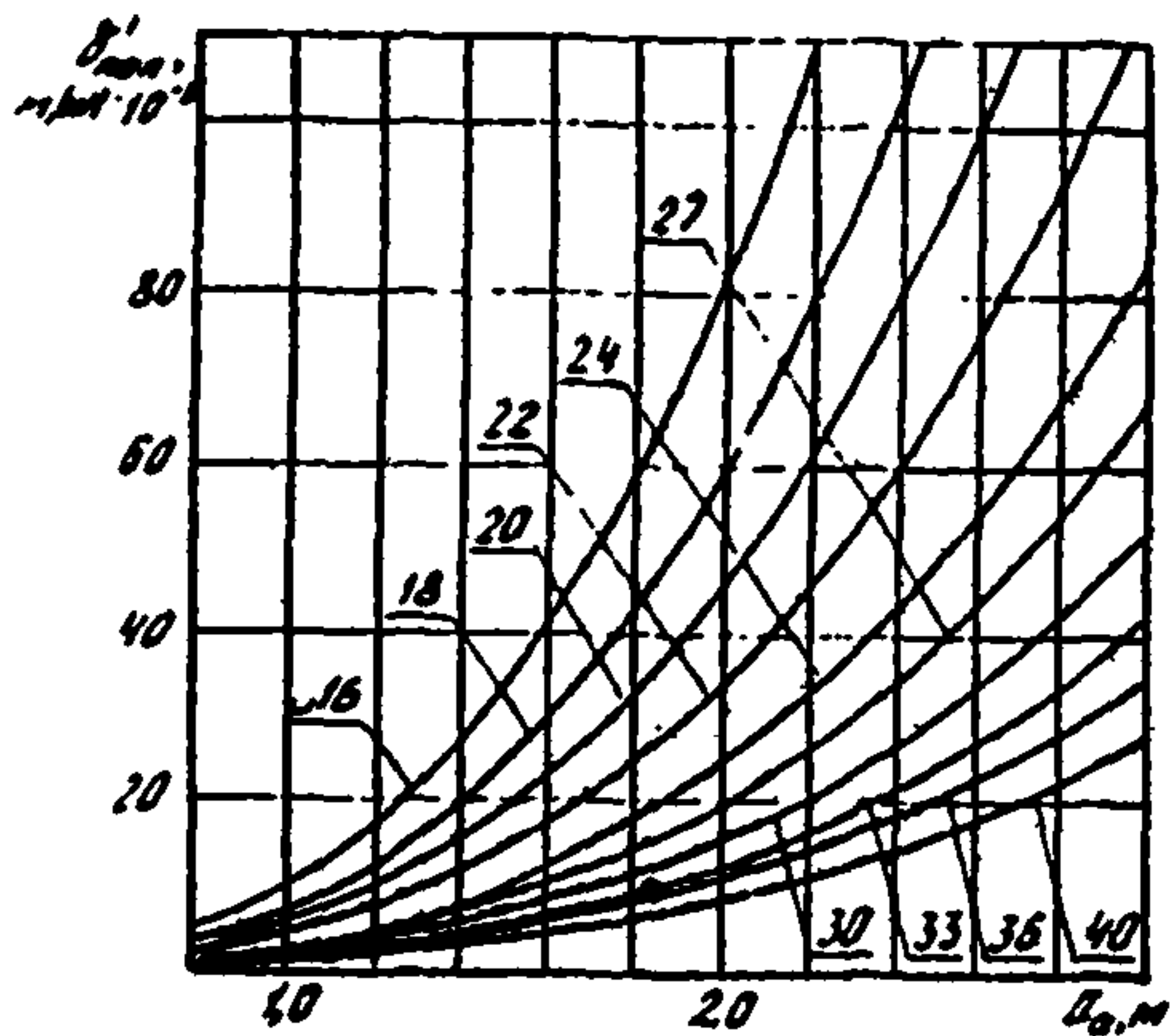
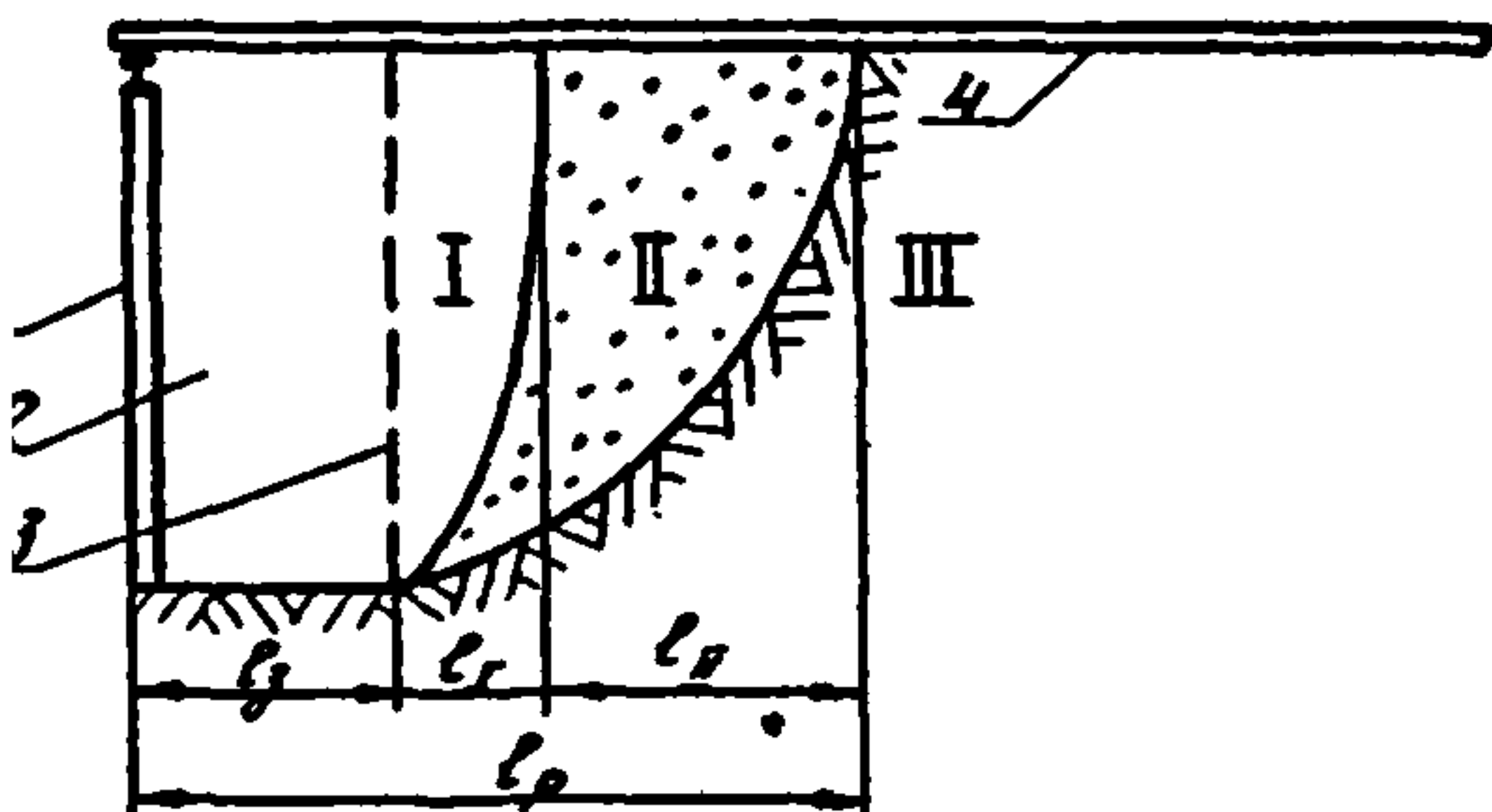


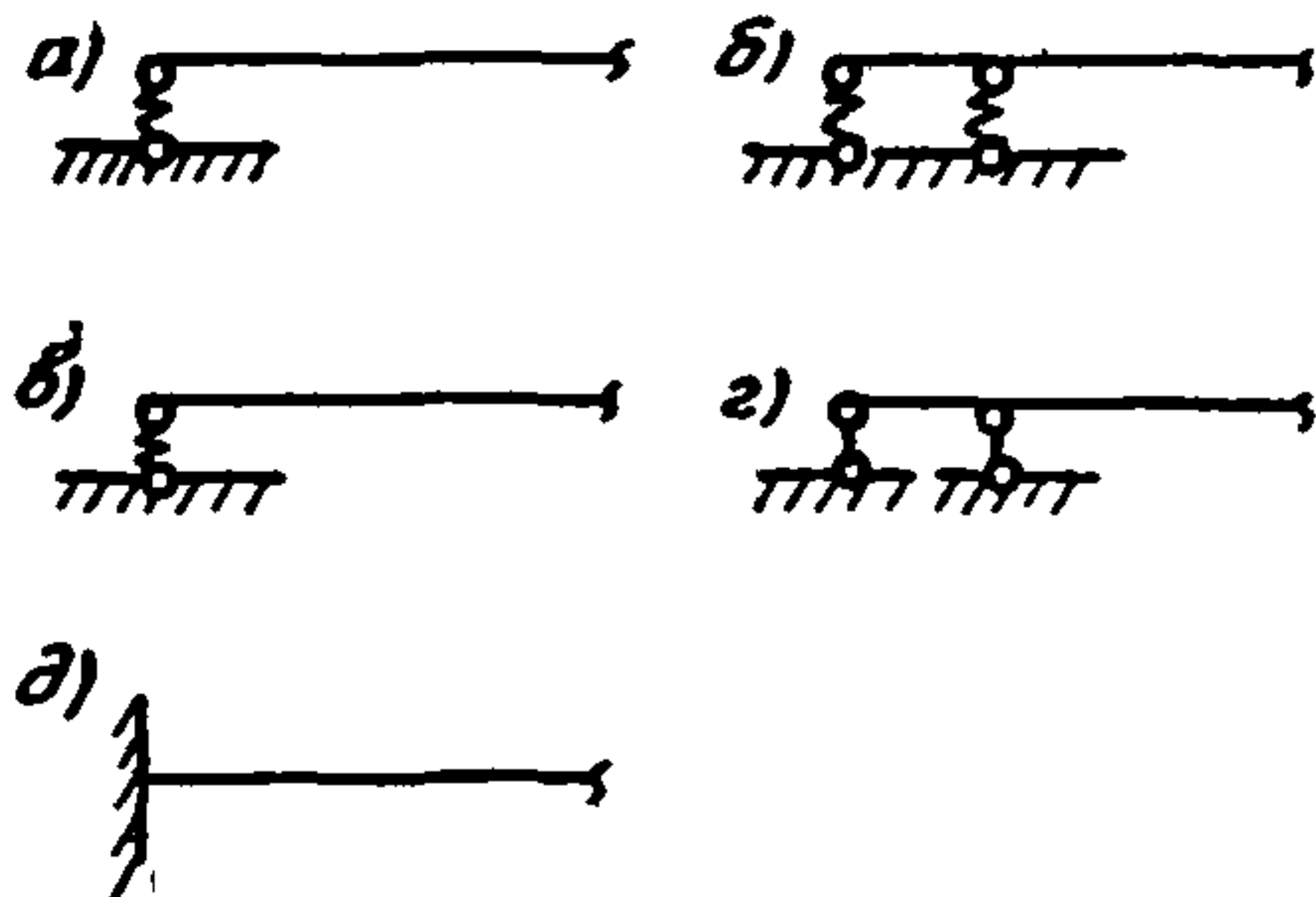
Рис.3. График для определения коэффициента упругой податливости попечного подхвата в случае расположения в его пролете одной трубы

4.6. Выбор статической схемы расчета трубы экрана следует производить в зависимости от технологической последовательности разработки забоя, а также от характера:
 опирания трубы на поддерживающий элемент;
 опирания трубы на грунт;
 распределения горного давления.

4.7. Схемы опирания трубы на поддерживающий элемент представлены на рис.5.



до обрушения; l_p - рабочий пролет трубы; l_s - длина зоны грунта, обрушающегося внутрь выработки; l_d - длина зоны грунта, отделяющейся от ненарушенного массива



обетонированные арки распределенного на участке определенной длины; в, г - аналогично а и б при отсутствии податливости поддерживающего элемента; д - если конец трубы заделан в крепком скальном грунте

4.8. Характер опирания трубы на грунт учитывают по схемам, приведенным на рис.6.

Длина, обеспечивающая заделку конца трубы в крепком скальном грунте, колеблется от 4-6 диаметров трубы (если обсадная труба используется в качестве трубы защитного экрана) до 2-3 м (если в скважину устанавливается труба меньшего диаметра, а обсадная труба извлекается).

Рис.4. Характерные зоны деформации грунта у забоя:

I - грунт, обрушающийся внутрь выработки; II - грунт, отделяющийся от ненарушенного массива и перемещающийся при прогибах труб экрана внутрь выработки; III - ненарушенный грунт, на который влияние забоя не распространяется; 1 - поддерживающий элемент; 2 - выработка; 3 - положение поверхности лба забоя

Рис.5. Варианты схем опирания трубы на поддерживающие элементы (элементы расчетной схемы):

а - при точечном опирании трубы на арку, анкер приближенно учете опирания на бетонную (железобетонную) обделку или обетонированные арки;

б - при более точном учете опирания трубы на бетонную (железобетонную) обделку или

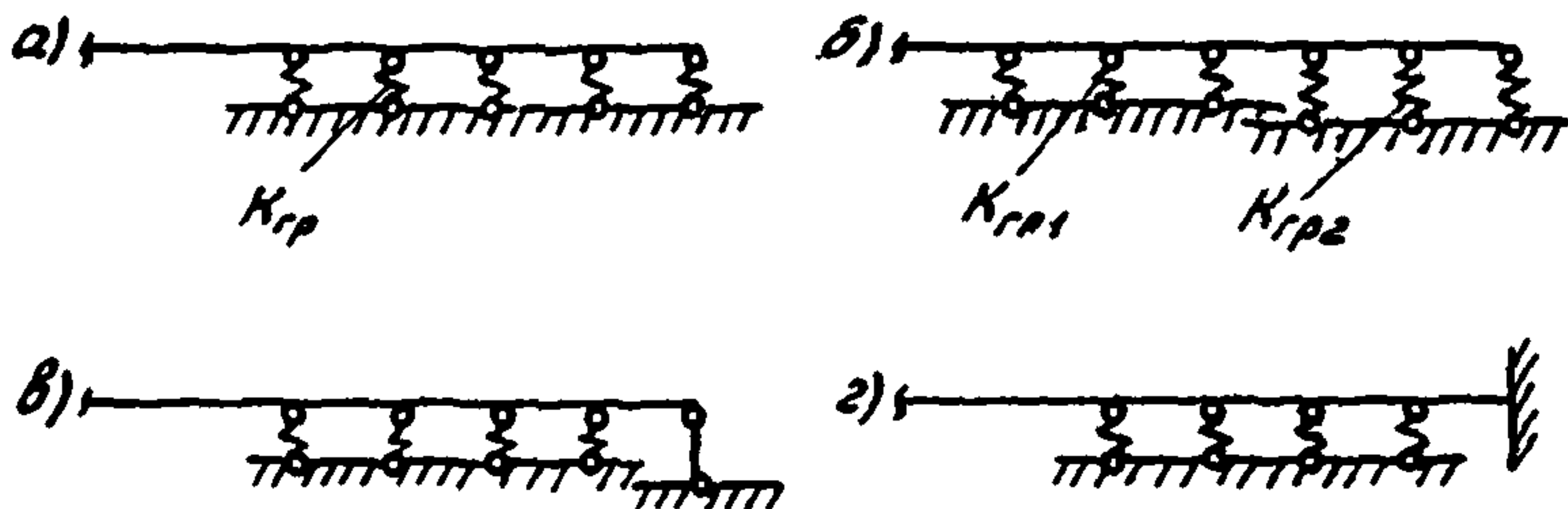


Рис.6. Варианты схем опирания трубы на грунт (элементы расчетной схемы):

а - при опирании на однородный грунт; б - при опирании на неоднородный грунт; в - если конец трубы забурен в крепкий скальный грунт на длину, не обеспечивающую заделку трубы; г - если конец трубы забурен в крепкий скальный грунт на длину, обеспечивающую заделку трубы; K_{rp} - коэффициент упругого отпора грунта; K_{rp1} и K_{rp2} - то же для различных (первого и второго) типов грунтов, встречающихся по длине трубы

Коэффициент упругой податливости опирания трубы на упругие опоры, моделирующие грунт ненарушенной зоны, определяется по формуле

$$\delta_{\text{up}} = \frac{R_{\text{скв}}}{K_{\text{оп}} \cdot S_{\text{оп}} R_b}, \quad (14)$$

где $R_{\text{скв}}$ - радиус скважины, создаваемой при забуривании трубы;

$K_{\text{оп}}$ - коэффициент упругого отпора грунта в выработке;

R_b - радиус выработки;

$S_{\text{оп}}$ - площадь опирания трубы на грунт (площадка, заменяемая упругой опорой).

$$S_{\text{оп}} = d_{\text{тр}} \cdot l_{\text{оп}},$$

Здесь $d_{\text{тр}}$ - диаметр трубы экрана;

$l_{\text{оп}}$ - расстояние между соседними упругими опорами.

Значения величин удельного коэффициента упругого отпора для некоторых грунтов приведены в табл. I справочного приложения I.

4.9. При выборе статической схемы трубы в качестве расчетного следует принимать положение, при котором проходит одна заходка и защитный экран опирается на первый поддерживающий элемент. Балка в рабочем пролете загружается равномерно распределенной нагрузкой, определенной на основании опытных данных (рис.7, а), или в предположении сводообразования (рис.7, б).

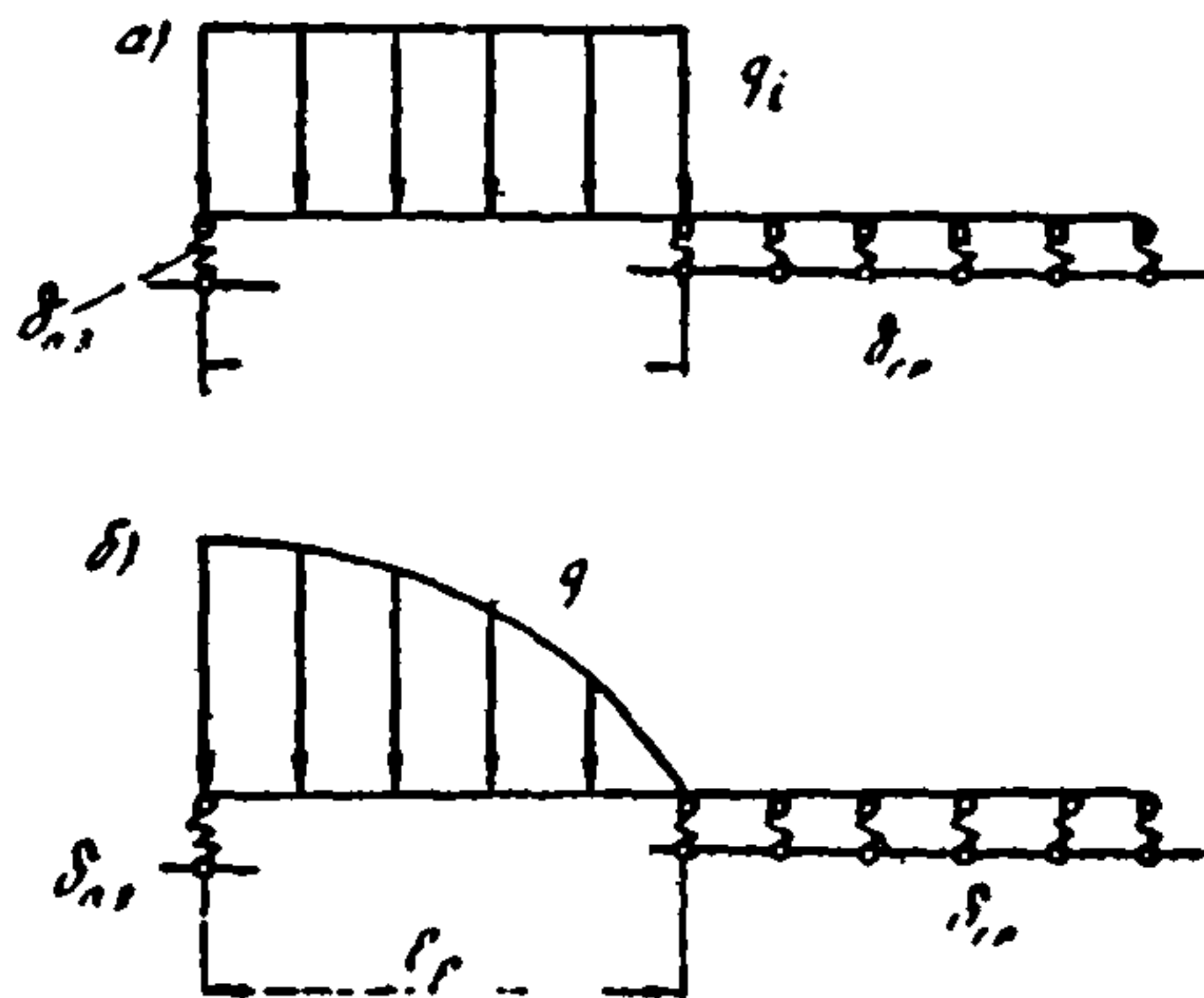


Рис.7. Статическая схема расчета труб защищного экрана:
а - по опытным данным; б - в предположении седлообразования; δ_{μ} и $\delta_{\mu'}$ - коэффициенты упругой податливости опирающей трубы на упругие опоры, моделирующие соответственно поддерживавший элемент и нарушенный грунт; l_p - длина рабочего пролета трубы; q_i - интенсивность усилий, воспринимаемых трубой в i -м сочленении

Подбор сечения полых стальных труб осуществляется по формуле

$$\frac{M}{W_{cr}} \leq KR, \quad (15)$$

где M - максимальный изгибающий момент в трубе;

W_{cr} - момент сопротивления поперечного сечения трубы;

R - расчетное сопротивление стали растяжению;

K - коэффициент надежности.

Несущую способность по моменту стальной трубы, заполненной бетоном, следует определять

$$M_{max} = \frac{d}{2(\gamma + \cos \alpha)} (\alpha_u R_m A_m + \beta_u R_{np} A_b \omega_2), \quad (16)$$

где M_{max} - максимальный момент, который может воспринять труба;

d - внутренний диаметр трубы;

A_m, A_b - соответственно площадь поперечного сечения полой стальной трубы и бетона заполнения;

R_m - расчетное сопротивление стали растяжению;

R_{np} - приизменная прочность бетона;

α_u - коэффициент эффективности для стали (принимается по табл.2 справочного приложения I);

$\beta_a = 1,15$ – коэффициент эффективности для бетона;
 α – угол, ограничивающий сжатую зону (принимается по графику, представленному на рис.8);

$$\omega_s = \frac{\sin^3 \alpha'}{3} + \frac{\pi - \alpha}{8} + \frac{\sin 4\alpha'}{32} \quad (I7)$$

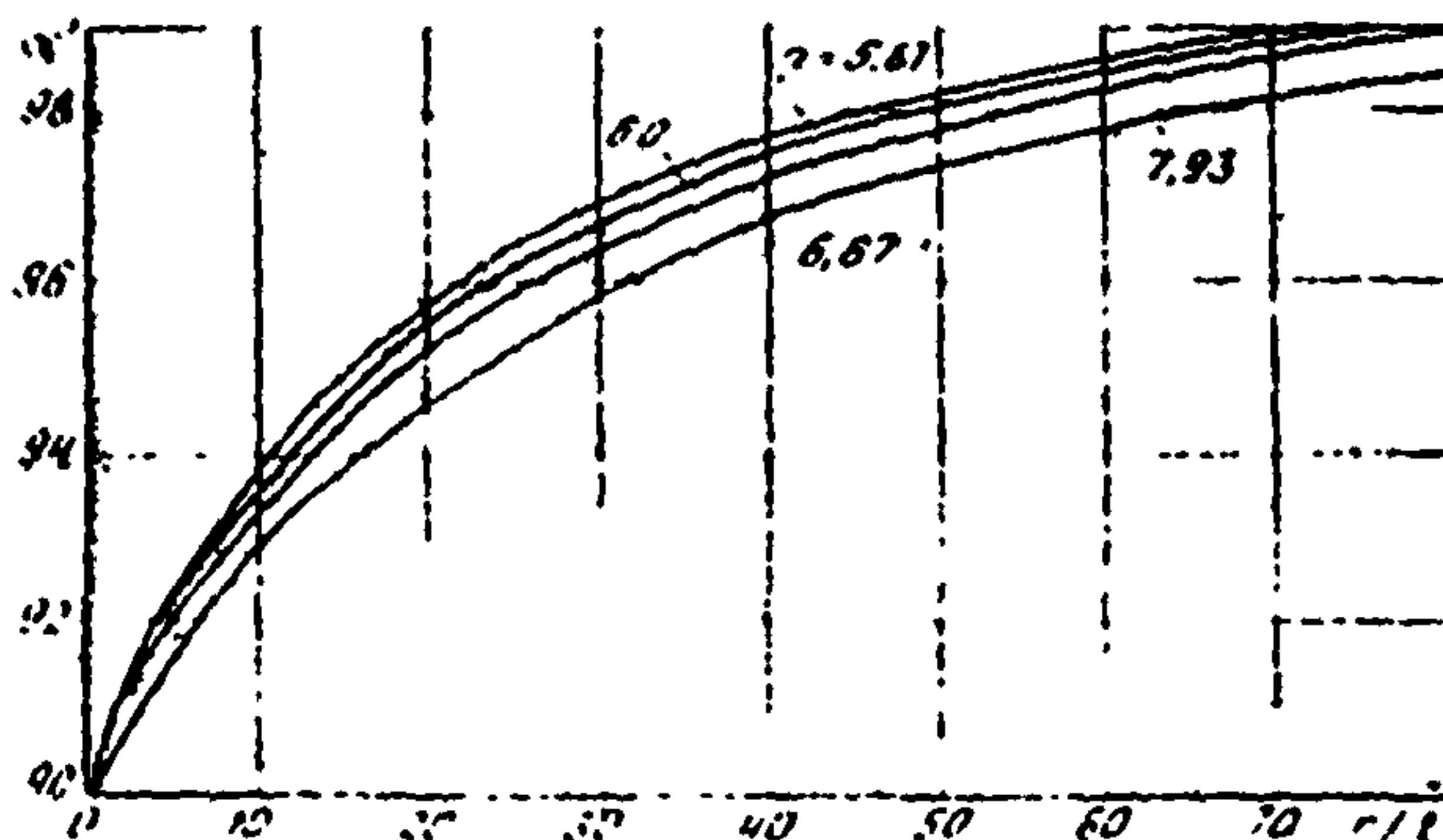


Рис.8. График для определения угла α
(n – коэффициент приведения E_{cr}/E_B)

В табл.3 спрагочного приложения I приведены значения максимальных изгибающих моментов, которые могут быть восприняты полими и заполненными бетоном трубами диаметром 102-377 мм с толщиной стенок 6-20 мм и заполнением бетоном В24,5 (М300).

4.10. Рассчитывать поддерживающий элемент в виде стальной арки следует, решая уравнение (I8) относительно величин F_i и w_i''' (в случае назначения ширины заходки и подбора соответствующего поддерживающего элемента) или относительно величины g_i (в случае назначения поддерживающего элемента и определения соответствующего максимального пролета)

$$\left(\frac{N_i g_i}{F_i R_a} \right)^{3/2} + \frac{M_i g_i}{W_i''' R_a} = f, \quad (I8)$$

f_i - площадь i -го сечения арки;
 w_i'' - пластический момент сопротивления i -го сечения арки,
для двутавра $w_i'' = 1,12 w_i$ (w_i - упругий момент со-
противления);
 $i \cdot M_i$ - продольная сила и изгибающий момент в i -м сечении ар-
ки от единичной нагрузки;
 q_i - интенсивность нагрузки;
 R_a - предел прочности материала арки.

4.11. Расчет поддерживающего элемента, представленного ар-
мированной бетоном, следует произволить в соответствии
СНиП 2.03.01-84 ("Бетонные и железобетонные конструкции") как
центроенно скатого элемента.

4.12. Пример расчета параметров конструкции защитного экрана
труб при строительстве автодорожного тоннеля приведен в роко-
дуктом приложении 2.

5. ТЕХНОЛОГИЯ И ОРГАНИЗАЦИЯ РАБОТ ПО СООРУЖЕНИЮ ОШИРНЯЮЩИХ ЗАЩИТНЫХ ЭКРАНОВ ИЗ ТРУБ

5.1. Процесс строительства тоннеля под защитой экрана из
труб включает следующие основные этапы:
а) подготовительные работы;
б) бурение скважин и установка в них труб;
в) нагнетание в полости труб цементного раствора (бетонной
массы);
г) разработка грунтового яруса и установка поддерживающих
элементов;
д) возведение обделки тоннеля.

На первом этапе производится подготовка соустройство рабо-
чих зон, размещение и выведение в рабочее положение буровой
гановки; при необходимости выполняется крепление лба забоя.

5.2. При строительстве порталного участка тоннеля трубы
рама устанавливают из предпортальной выемки (рис.9, а). В случае
использования защитных экранов на подземных участках тоннеля
становку труб производят из забоя (рис.9, б).

5.3. Если длина зоны нарушенных грунтов (разлома) не превы-
шает 40 м экран ставят на всю длину этой зоны с заходом в
нарушенный массив как минимум на 2 м. При этом бурение скважин
должно производиться из предварительно созданной камеры. Ориенти-

ровочно длина камеры составляет 8-12 м, ширина и высота камеры должны превышать ширину и высоту выработки тоннеля соответственно на 1,6-3,0 и 0,8-1,5 м, обеспечивая возможность ведения буровых работ за предполагаемым контуром выработки.

5.4. Скважины забуривают по контуру выработки с зазором между наружным контуром обделки тоннеля и осями труб. Величину зазора определяют как сумму возможного отклонения трубы от проектного положения при забуривании и величины накапливающегося по мере проходки выработки прогиба трубы. Минимальная величина зазора составляет 30-50 см.

5.5. Если длина зоны нарушенных грунтов превышает 40 м, защитный экран устраивают из отдельных перекрывающихся секций длиной 9-30 м (рис. I,б). При этом трубы забуривают непосредственно из тоннельной выработки с наклоном 1,5-1,8° относительно оси тоннеля. Если стены выработки параллельны, трубы образуют веерную крепь конической формы, при наклонных стенах трубы могут располагаться параллельно друг другу. Угол наклона труб относительно оси тоннеля определяют исходя из того, что забуриваемая труба должна иметь в сечении, из которого ведется забуривание следующей секции экрана, превышение 0,8-1,5 м относительно точки забуривания. Забуривание труб каждой последующей секции следует начинать после осуществления проходки под предыдущей секцией на длину, меньшую на 1-4 м длины секции и крепления лба забоя. Величина перекрытия секций должна превышать длину зоны нарушенного грунта призабойного грунтового массива.

5.6. При щитовом способе ведения работ возможны две схемы создания защитного экрана:

1) с устройством его непосредственно из щита, при этом буровое оборудование размещают внутри щита и скважины забуривают с наклоном к оси тоннеля (рис. II, а);

2) с разборкой необходимого количества колец обделки за щитом, с устройством камеры за щитом для забуривания труб из камеры снаружи щита и тоннель параллельно его оси (рис. II, б).

Первая схема предпочтительнее при преодолении зон слабоустойчивых грунтов длиной более 40, вторая - менее 40 м.

5.7. Для установки труб в грунтовый массив следует использовать станки, позволяющие разбуривать скважины во всем диапазоне ожидаемых грунтов. Наименования и некоторые характеристики таких буровых станков приведены в спирочном приложении 3.

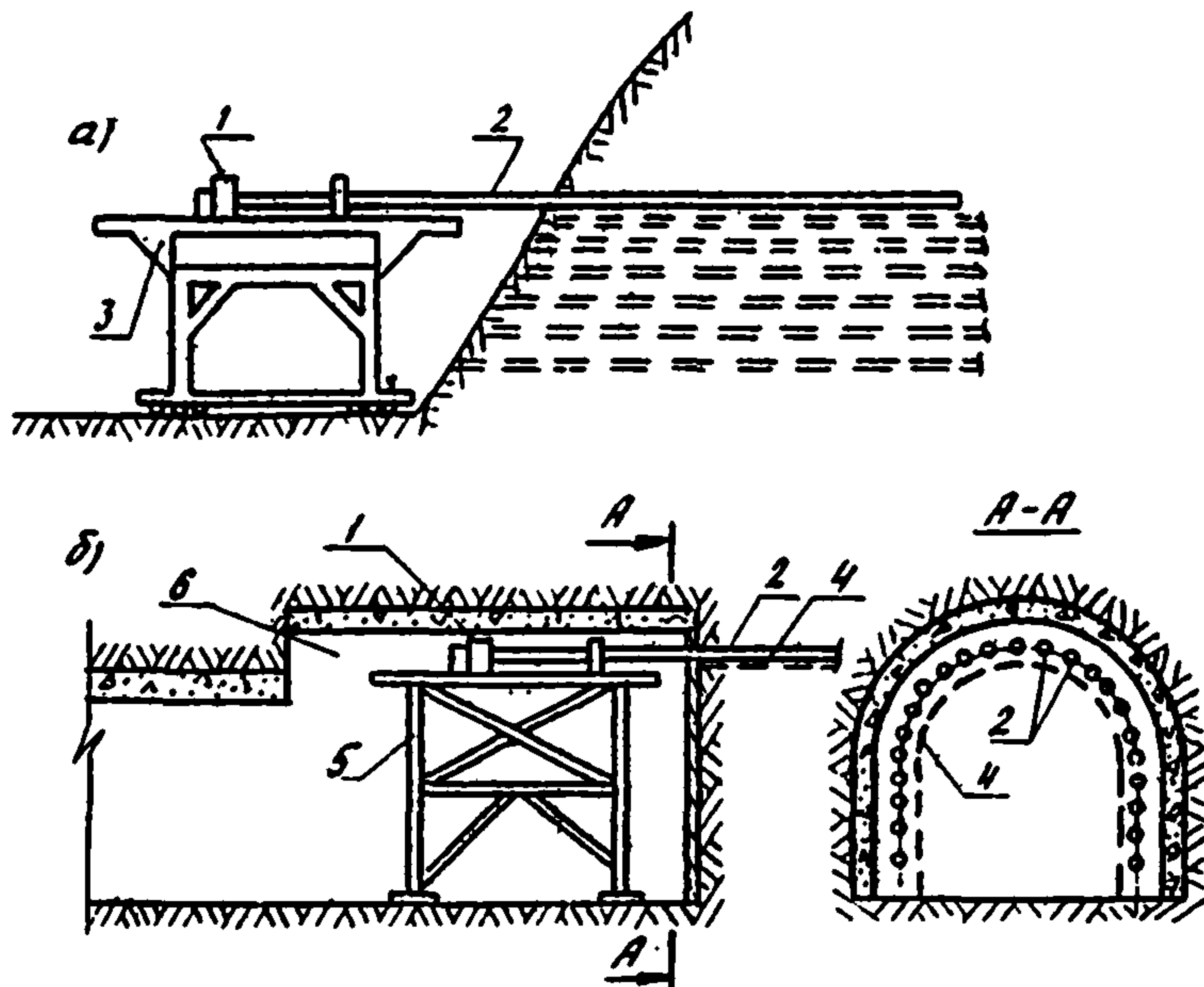


Рис.9. Устройство защитного экрана:
а - с поверхности; б - из подземной камеры; 1 -
буровая установка; 2 - трубы защитного экрана; 3 - бу-
ровая рама; 4 - контур выработки; 5 - подмости;
6 - камора

При производстве буровых работ должна быть обеспечена воз-
можность перемещения бурового станка по всему контуру выработки,
для чего можно устанавливать на шпальную клетку буровую
раму или подмости. При проходке выработки ступенчатым забоем буро-
вой станок размещают последовательно из каждой ступени (рис. I2)

5.8. После установки труб защитного экрана в грунтовый мас-
сив следует произвести заполнение их полостей цементным раствором
или бетонной смесью.

При использовании перфорированных труб до начала нагнетания
рекомендуется покрывать обнаженный забой выработки слоем монолит-
ного или набрызг-бетона толщиной 8-10 см.

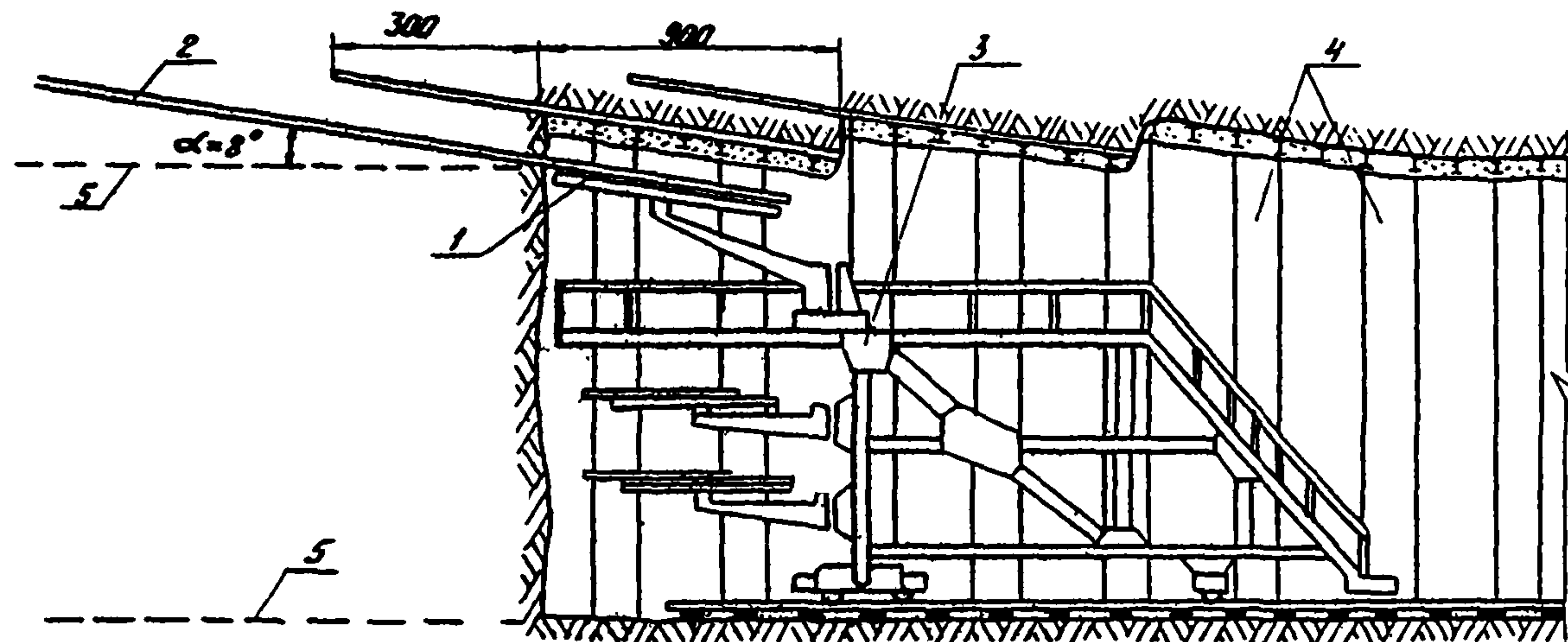


Рис.10. Устройство наклонных перекрывающихся экранов из трубы:
1 - буровой станок; 2 - трубы защитного экрана; 3 - буровая рама; 4 - арочно-бетонная крепь; 5 - контур выработки

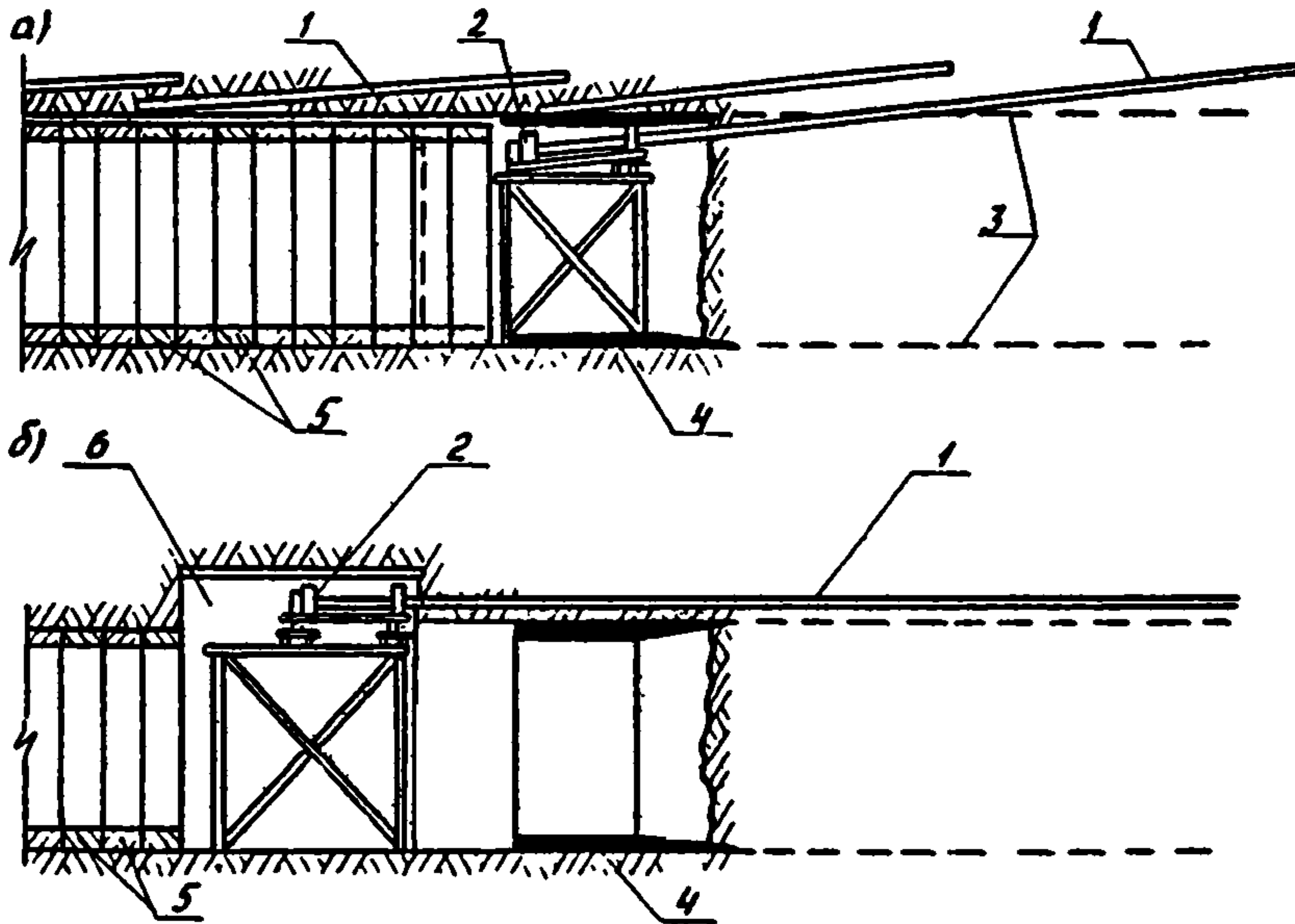


Рис. II. Схемы устройства защитного экрана при щитовой проходке выработки:

а - с устройством экрана непосредственно из щита; б - с забурыванием труб из камеры вне щита; 1 - трубы защитного экрана; 2 - буровой станок; 3 - контур будущей выработки; 4 - проходческий щит; 5 - кольца тоннельной обделки; 6 - камера

В случае бурения скважин с обсадной трубой с последующей заменой ее на рабочую трубу нагнетание предпочтительное производить параллельно с процессом извлечения обсадной трубы в несколько этапов с шагом извлечения трубы 1-2 м. При этом должна быть обеспечена надежная пробка, закрывающая зазор между обсадной и рабочей трубами.

Цементный раствор подают в трубы под давлением 300-3000 кПа. Его водоцементное отношение должно составлять 1:1 - 1:2. Для повышения подвижности раствора в смесь можно добавлять 5-10 % бентонита. С целью сокращения сроков строительства возможно использование цементной смеси, содержащей ускорители твердения. Цементация ведется до появления раствора в соседней скважине или до отказа. Работы по нагнетанию считаются законченными, если раствор не поглощается в течение 10-15 мин при постоянном давлении.

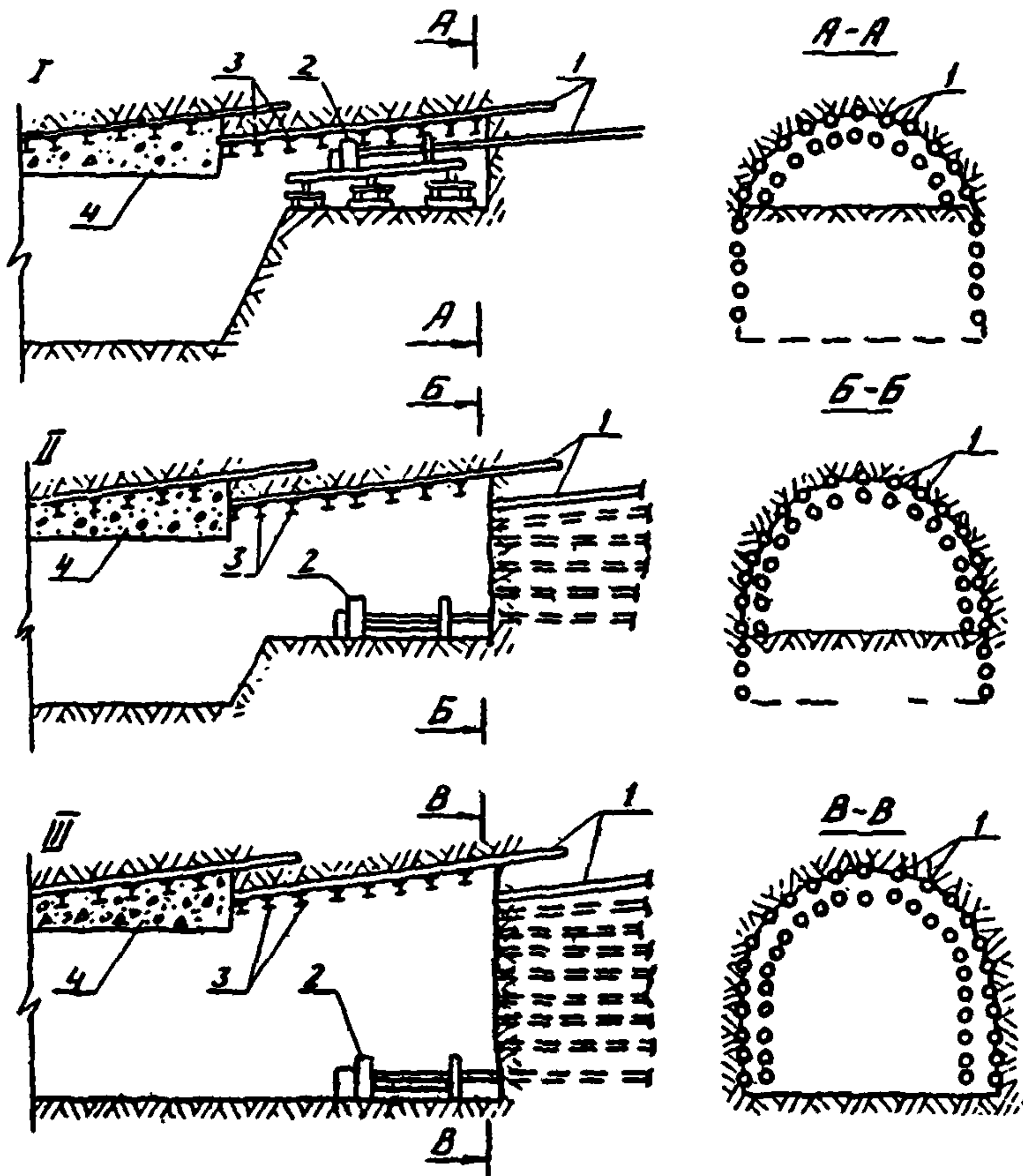


Рис.12. Технология, предусматривающая установку в грунт труб защитного экрана в несколько этапов:
I - трубы защитного экрана, 2 - буровой станок; 3 - поддерживющие элементы; 4 - обделка тоннеля

5.9. Разработка грунта под защитной экраном из труб начинаясь после набора цементом заполнения достаточной прочности и может производиться по одной из следующих схем, представленных на рис.13.

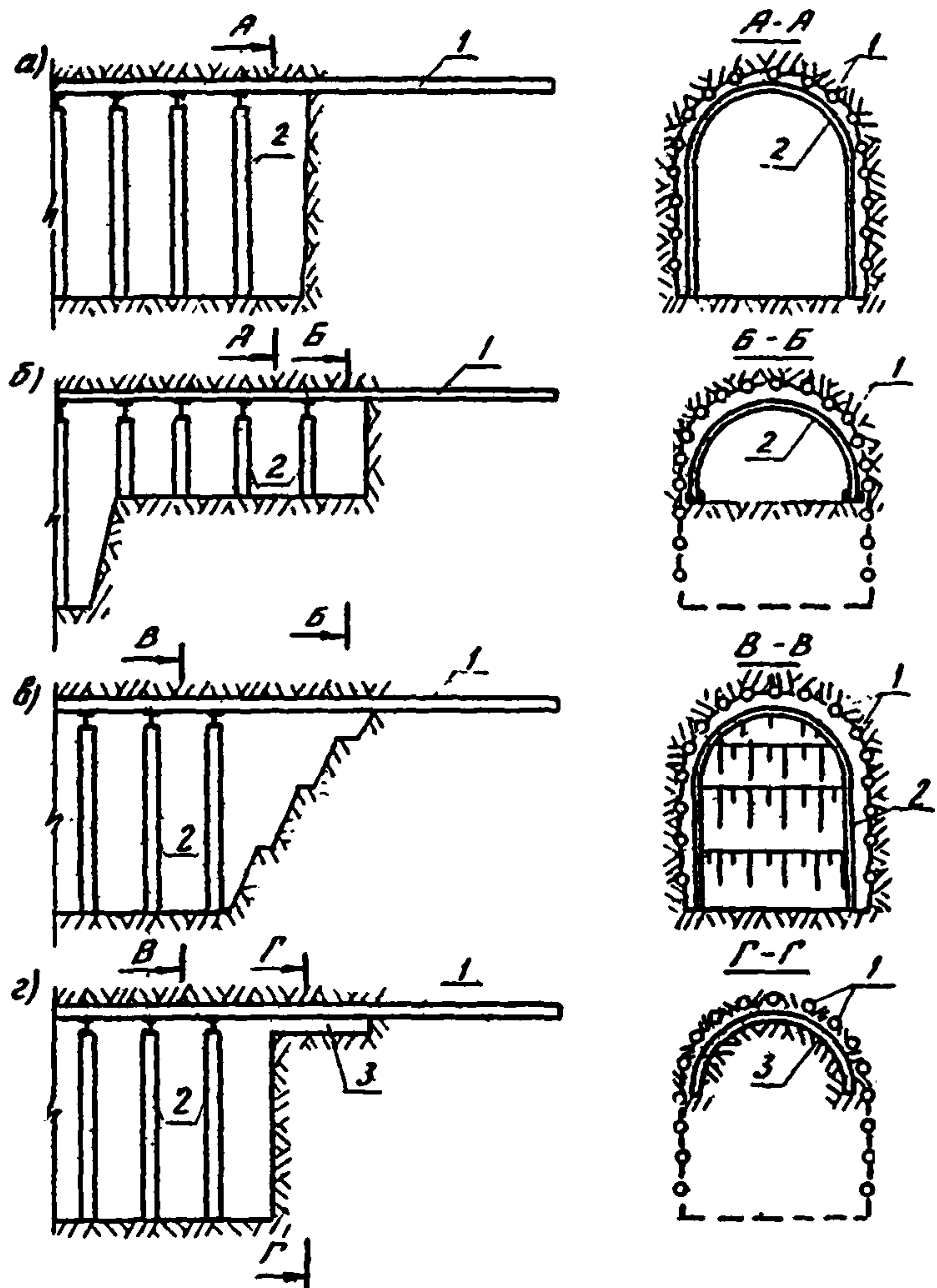


Рис.13. Схемы разработки грунта под защитой экрана из труб:
 а - на полный профиль; б - ступенчатым забоем; в - минимальными уступами; г - с предварительной контурной подрезкой грунта в забое; 1 - трубы защитного экрана; 2 - поддерживающие элементы; 3 - контурная щель

выбор схемы следует производить в зависимости от несущей способности экрана из труб и длины зоны нарушенных грунтов перед заходом на основании анализа уравнений (II) - (I3).

Проходку выработки ведут заходками длиной 0,75-2 м. Длину заходки определяют как разность максимального допустимого рабочего пролета трубы и длины зоны нарушенных грунтов (см.рис.4):

$$l_3 = l_p - l_1 - l_d \quad (19)$$

Сразу после проходки выработки на очередную заходку следует производить установку поддерживающего элемента. Для обеспечения надежного опирания труб на поддерживающий элемент необходимо устанавливать подкладки и произволить подклинивание всех обнажившихся труб защитного экрана.

Для уменьшения рабочего пролета трубы возможно использовать установку наклонных арок или опережающих анкеров.

В рекомендуемом приложении 4 приводены примеры технологии создания защитного экрана из труб и проходки под его прикрытием тоннельной выработки. В рекомендуемом приложении 5 даны примеры производства работ при сооружении разведочно-транспортно-дренажной штольни.

5.I0. Поддерживающие элементы защитного экрана рекомендуется включать в состав конструкции обделки и учитывать при ее проектировании.

5.II. Расстояние от лба забоя до места возведения обделки следует определять, исходя из несущей способности поддерживающих элементов и характера изменения воспринимаемых ими усилий.

6. МЕРОПРИЯТИЯ ПО ОХРАНЕ ТРУДА И ТЕХНИКЕ БЕЗОПАСНОСТИ

6.I. Все работы необходимо выполнять в строгом соответствии с "Правилами техники безопасности и производственной санитарии при строительстве тоннелей и метрополитенов", "Едиными правилами техники безопасности в строительстве", "Едиными правилами техники безопасности при взрывных работах".

6.2. Работы с оборудованием и механизмами следует производить в соответствии с их техническими паспортами и правилами по эксплуатации.

6.3. При производстве инъекционных работ между местом инъекции и инъекционным узлом должна действовать надежная двухсторонняя связь.

6.4. Запрещается использовать неисправные насосы, смесители, растворопроводы. При обнаружении неисправностей все работы по инъекции следует немедленно прекратить и снять давление в системе.

6.5. Вести ремонтные работы при работающих механизмах и при наличии давления в системе запрещается.

6.6. До начала инъекции после завершения монтажа вся система растворопроводов должна быть испытана под давлением, превышающим рабочее в 1,5 раза с составлением акта испытаний.

6.7. Рабочие, выполняющие инъекционные работы, должны быть обеспечены предохранительными очками с небьющимися стеклами, респираторами и резиновыми перчатками.

6.8. Растворопроводы и шланги должны быть надежно прикреплены к конструкциям хомутами, а в местах нахождения людей иметь защитные кожухи.

6.9. До начала производства работ все рабочие должны пройти технический минимум по безопасности ведения этих работ и обслуживанию применяемых машин и механизмов.

6.10. Необходимо вести тщательный контроль за состоянием края выработки и лба забоя в период производства буровых и инъекционных работ.

6.11. При проведении буровых работ запрещается:
касаться вращающихся штанг и погружного пневмоударника;
смазывать или чистить механизм, проводить какой-либо ремонт;
находиться в зоне возможного выброса инструмента и грунто-водяной пульпы из скважины.

6.12.. При проведении инъекционных работ запрещается:
использовать шланги имеющие вздутие и неисправные манометры;
производить быстрое перекрывание кранов на коммуникациях растворов – краны перекрывать плавно;
применять насосы без предохранительных клапанов;
применять нагнетательные шланги без прочного и надежного закрепления (чтобы исключить возможность их срыва при работе насоса).

6.13. По окончании инъекции все оборудование должно быть тщательно промыто.

Приложение I
Справочное

ХАРАКТЕРИСТИКИ ГРУНТОВ И ТРУБ, ИСПОЛЬЗУЕМЫЕ
ПРИ РАСЧЕТЕ ПАРАМЕТРОВ КОНСТРУКЦИИ
ЗАЩИТНОГО ЭКРАНА

Т а б л и ц а I
Дифференциональные характеристики грунтов

Типы грунтов	Удельный коэффициент упругого отпора, $K_{отп} \cdot 10^{-4}$, кН/м ³	Модуль деформации, $E_0 \cdot 10^{-4}$ мПа	Коэффициент Пуассона
Граниты	500-900	4-11	0,18-0,22
Доломиты	500-5000	5	0,15
Кварциты	350-1000	5-15	0,12-0,14
Аргиллиты	40-60	1-4,5	0,17-0,25
Алевролиты	30-50	1-3	0,2-0,3
Песчаники	80-100	0,2-0,4	0,1-0,3
Сланцы:			
глинистые	20-60	1-4	0,22
песчаные	30-80	1-3	0,15-0,4
Известняки	40-80	0,4-0,8	0,27
Глины:			
плотные	10-20	0,002-0,006	0,5
пластичные	1-4	0,001-0,004	0,4
Крупнообломочные	5-10	0,05-0,1	0,27
Песок:			
крупный и средний	3-5	0,0013	0,3
мелкий пылеватый	1-1,5	0,006-0,01	0,3

Т а б л и ц а 2
Значение коэффициента α_u для расчета
трубобетонного элемента

t/d	Класс стали труб					
	C 38/23	C 44/29	C 46/33	C 52/40	C 60/45	C 70/60
0,005	I,16	I,14	I,13	I,10	I,08	I,02
0,01	I,14	I,13	I,12	I,11	I,09	I,04
0,015	I,13	I,12	I,11	I,10	I,09	I,06
0,02	I,12	I,11	I,10	I,09	I,09	I,07
0,025	I,12	I,10	I,10	I,08	I,08	I,07
0,03	I,11	I,10	I,09	I,08	I,07	I,06
0,035	I,11	I,10	I,09	I,08	I,07	I,06
0,04	I,11	I,10	I,09	I,07	I,06	I,05
0,045	I,11	I,10	I,09	I,07	I,06	I,05
0,05	I,11	I,10	I,09	I,06	I,05	I,05
0,055	I,11	I,10	I,09	I,06	I,05	I,05

Т а б л и ц а 3
Максимальные изгибающие моменты, воспринимаемые трубами защитного экрана

D, мм	Максимальные изгибающие моменты, МН·см; для труб - полых/заполненных бетоном при толщине стенки <i>t</i> , мм							
	6	8	10	12	14	16	18	20
I02	0,68/I,47	0,88/2,26	I,05/2,60	I,21/2,86	I,35/3,07	I,48/3,23	I,60/3,32	I,70/3,38
I08	0,77/2,I3	0,99/2,59	I,19/2,99	I,38/3,30	I,54/3,56	I,69/3,76	I,83/3,90	I,95/3,98
I2I	0,98/3,02	I,26/3,37	I,53/3,90	I,77/4,37	I,99/4,75	2,20/5,04	2,39/5,31	2,56/5,47
I25	I,05/3,26	I,36/3,64	I,64/4,I2	I,90/5,02	2,I5/5,I4	2,37/5,50	2,57/5,79	2,76/6,00
I33	I,20/3,74	I,55/4,2I	I,88/4,88	2,I8/5,45	2,46/5,99	2,73/6,43	2,97/6,76	3,I9/7,07
I40	I,33/4,20	I,72/4,72	2,09/5,5I	2,44/6,I6	2,76/6,80	3,06/7,3I	3,34/7,73	3,60/8,09
I52	I,58/5,07	2,05/6,24	2,50/6,66	2,92/7,50	3,3I/8,3I	3,68/8,94	4,02/9,52	4,34/9,99
I80	2,25/7,45	2,93/9,I8	3,58/9,86	4,20/II,I5	4,78/I2,35	5,34/I3,39	5,87/I4,45	6,37/I5,28
203	2,88/9,80	3,77/I2,07	4,6I/I4,I9	5,42/I4,80	6,20/I6,42	6,94/I7,87	7,64/I9,I8	8,32/20,56
2I9	3,37/II,66	4,4I/I4,32	5,4I/I6,85	6,37/I7,58	7,29/I9,55	8,I7/2I,39	9,02/23,0I	9,83/24,73
245	4,24/I5,I5	5,56/I8,53	6,84/2I,79	8,07/24,86	9,25/25,3I	9,83/27,76	II,50/30,08	I2,56/32,08
273	5,29/I9,34	6,95/23,83	8,56/27,77	I0,I2/3I,79	II,63/35,5I	I3,09/35,6I	I4,50/38,63	I5,87/4I,54
299	6,37/23,88	8,38/29,32	I0,34/34,23	I2,23/39,I4	I4,08/43,6I	I5,87/44,06	I7,6I/47,83	I9,29/5I,56
325	7,55/28,96	9,95/35,47	I2,28/4I,44	I4,55/47,I4	I6,76/52,77	I8,9I/56,25	2I,0I/57,88	23,05/62,33
35I	8,83/34,64	II,64/42,3I	I4,39/49,23	I7,07/56,23	I9,68/62,93	22,23/69,29	24,7I/75,46	27,I4/74,29
377	I0,22/4I,27	I3,48/49,68	I6,67/58,04	I9,78/66,2I	22,83/74,2I	25,8I/8I,53	28,72/8I,05	3I,56/87,76

Приложение 2 Рекомендуемое

ПРИМЕР РАСЧЕТА ПАРАМЕТРОВ КОНСТРУКЦИИ ОГРАЖДАЮЩЕГО ЭКРАНА ИЗ ТРУБ.

Исходные данные

Строительство двухполосного автодорожного тоннеля ведется способом нижнего уступа под защитой экрана из труб.

Глубина заложения выработки 100-120 м. Протяженность зоны разлома 740 м.

Грунты зоны тектонического нарушения – дресвяно-щебенисто-глинистая масса со следующими физико-механическими характеристиками: $f = 0,9$; $C = 50$ кПа; $\varphi = 29^\circ$; $\varphi_k = 42^\circ$; $\gamma = \rho g = 1,8 \cdot 10 = 18 \text{ т/м}^2 \cdot \text{с}^2 = 18 \text{ кН/м}^3$; $\rho = 1,8 \text{ т/м}^3$; $g = 10 \text{ м/с}^2$.

Диаметр трубы защитного экрана 114 мм, толщина стенки 12 мм. Полости труб заполнены цементным раствором.

В процессе проектирования следует определить:

- 1) величину воспринимаемого экраном горного давления;
- 2) статическую схему расчета трубы экрана;
- 3) коэффициент упругой податливости опирания трубы на поддерживающий элемент;
- 4) возможные изгибающие моменты в трубах защитного экрана;
- 5) максимально допустимый изгибающий момент;
- 6) длину нарушенной зоны грунта перед забоем;
- 7) допустимое расстояние между осями труб;
- 8) параметры поддерживающих элементов.

Определение величины воспринимаемого экраном горного давления

Поскольку тоннель сооружается в зоне неустойчивых грунтов, вокруг выработки при ее проходке может образоваться зона неупругих деформаций. Следовательно, экран должен быть рассчитан на нагрузки от веса грунта в пределах свода обрушения, причем нижняя граница свода обрушения совпадает с пятой свода выработки.

В соответствии со СНиП П-44-78:

$$q'' = 270 \text{ кПа}; \quad p'' = 64 \text{ кПа}; \quad q = 405 \text{ кПа}; \quad P = 115 \text{ кПа}.$$

Выбор статической схемы расчета трубы опережающего экрана

Статическую схему расчета трубы опережающего защитного экрана (см.рис.7,б) принимают в виде балки, опирающейся одним концом на упругоподатливую опору, моделирующую поддерживающий элемент, и другим концом - на систему упругоподатливых опор, моделирующих ненарушенный грунт призабойной зоны: балка загружена распределенной нагрузкой от свода обрушения, правая граница нагрузки совпадает с верхней точкой границы между П и Ш зонами грунта.

Определение коэффициентов упругой податливости опирания трубы на поддерживающий элемент

В качестве возможных поддерживающих элементов рассматриваются стальные двутавры I № 27, I № 30, I № 33, I № 36., I № 40, арочно-бетонная кроль с использованием перечисленных двутавров и толщиной бетона, равной высоте двутавра при шаге двутавров 1 м. I № 27, омоноличенной бетоном постоянной обделки тоннеля, имеющей переменную толщину, равную в своде 80 см, также при шаге двутавров 1 м.

Определение внутренних усилий и деформаций поддерживающих элементов под действием нагрузок от свода обрушения производилось на ЭВМ ЕС-1022 по программе *SRT3EC*, основанной на расчете стержневых систем методом конечного элемента^I. В таблице приведены значения коэффициентов упругой податливости опирания на рассматриваемые поддерживающие элементы при расстоянии между осями труб 1 м.

Ожидаемое перемещение пяты арки (свода) составляет 1 см.
При таком перемещении

$$\delta^{(1,0)} \approx 4 \cdot 10^{-5} \text{ см/кгс} \approx 4 \cdot 10^{-5} \text{ м/кН.}$$

^I

Вычисления выполнялись в Московском автодорожном институте (МАДИ).

Значения коэффициентов упругой податливости
опирания трубы на поддерживающий элемент

Тип поддерживающего элемента	$EJ, \text{кН}\cdot\text{м}^2$	$EF, \text{кН}$	$\delta^{(I:I,0)}, \text{м/кН}$
I № 27	10520	844200	$23,3 \cdot 10^{-5}$
I № 30	14870	976500	$20,9 \cdot 10^{-5}$
I № 33	20660	1129800	$16,7 \cdot 10^{-5}$
I № 36	28100	1299900	$13,5 \cdot 10^{-5}$
I № 40	40030	1524600	$10,5 \cdot 10^{-5}$
Омоноличенный I № 27	67930	10294200	$4,3 \cdot 10^{-5}$
I № 30	93620	11476500	$3,3 \cdot 10^{-5}$
I № 33	125480	12679800	$2,7 \cdot 10^{-5}$
I № 36	164180	13899900	$2,1 \cdot 10^{-5}$
I № 40	226700	15524600	$1,7 \cdot 10^{-5}$
I № 27 омоноличенный бетоном обделки согласно проекту	1568000	29125600	$0,4 \cdot 10^{-5}$

Область наиболее вероятного варьирования величины δ_n в зависимости от высоты и материала подкладки находится в пределах от $0,5 \cdot 10^{-5}$ до $30 \cdot 10^{-5} \text{ м/кН}$.

Коэффициент упругой податливости опирания труб на упругие опоры, моделирующие грунт ненарушенной зоны, определялся по формуле (14).

**Определение возможных изгибающих моментов
в трубах защитного экрана.**

Изгибающие моменты в трубах защитного экрана определялись в соответствии с принятой расчетной схемой для рабочих пролетов трубы от 2 до 9 м при различной деформативности поддерживающего элемента. Вычисления проводились по программе MOPR, служащей для расчета балок на упругоподатливых опорах^I.

На рис. I представлена nomограмма, позволяющая производить приближенное определение значений изгибающих моментов в трубах

^I Программа MOPR разработана на кафедре мостов в МАДИ.

экрана при различных рабочих пролетах и расстояниях между осями труб.

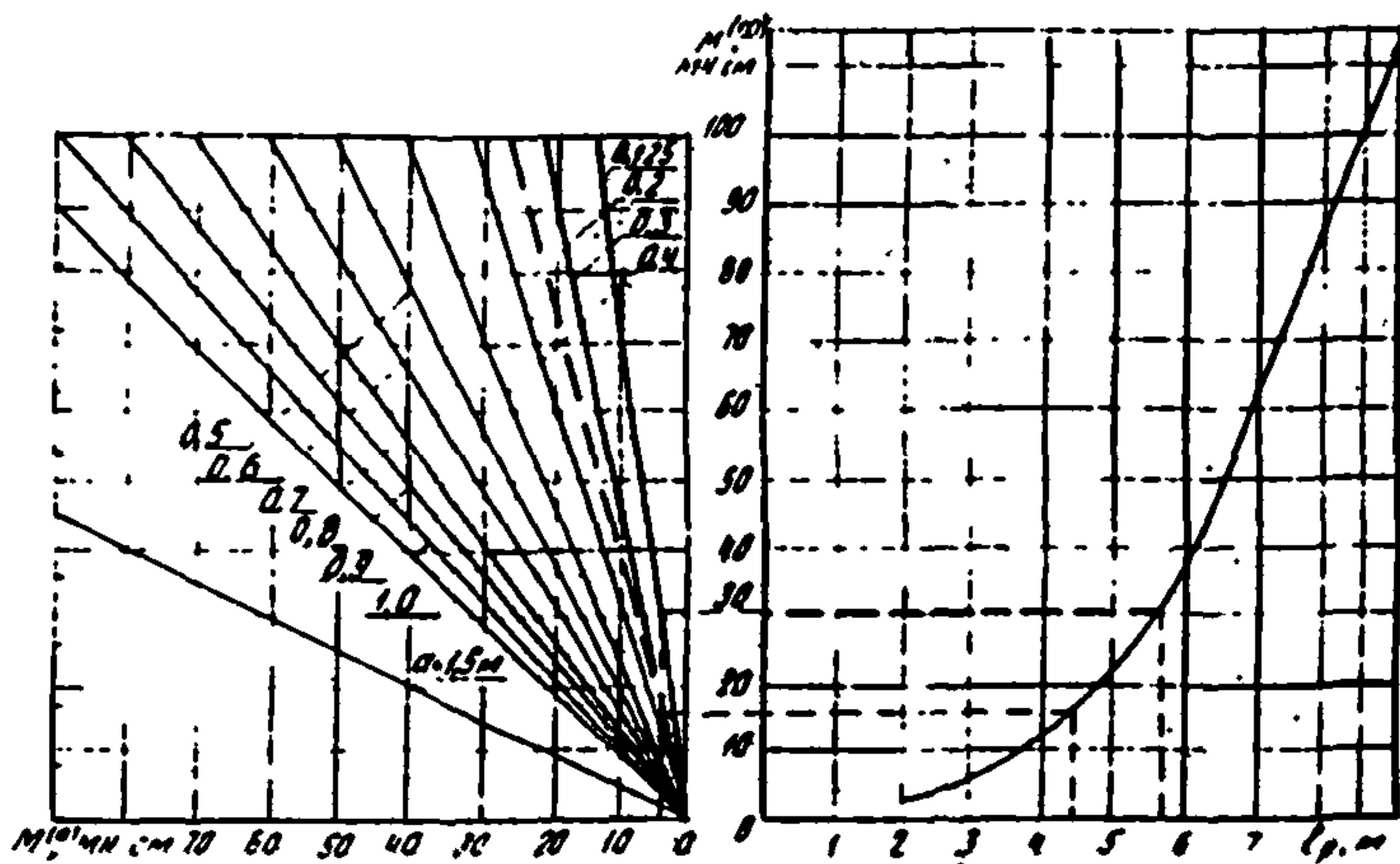


Рис. I. Номограмма для приближенного определения значений изгибающего момента в трубах защитного экрана

График на рис. 2 позволяет определять уточненные значения изгибающих моментов в зависимости от коэффициента упругой податливости опирания трубы на поддерживающий элемент при рабочих пролетах от 3 до 5 м.

Определение максимального допустимого изгибающего момента

Значение максимального допустимого изгибающего момента в трубе защитного экрана определяют по формуле (I6). Для стальной трубы диаметром 114 мм с толщиной стенки 12 мм и заполненной бетоном М300 $M_{\text{max}}^{\Delta_{\text{оп}}} = 3,8 \text{ тс} \cdot \text{м} = 38 \text{ кН} \cdot \text{м} = 3,8 \text{ МН} \cdot \text{см}$.

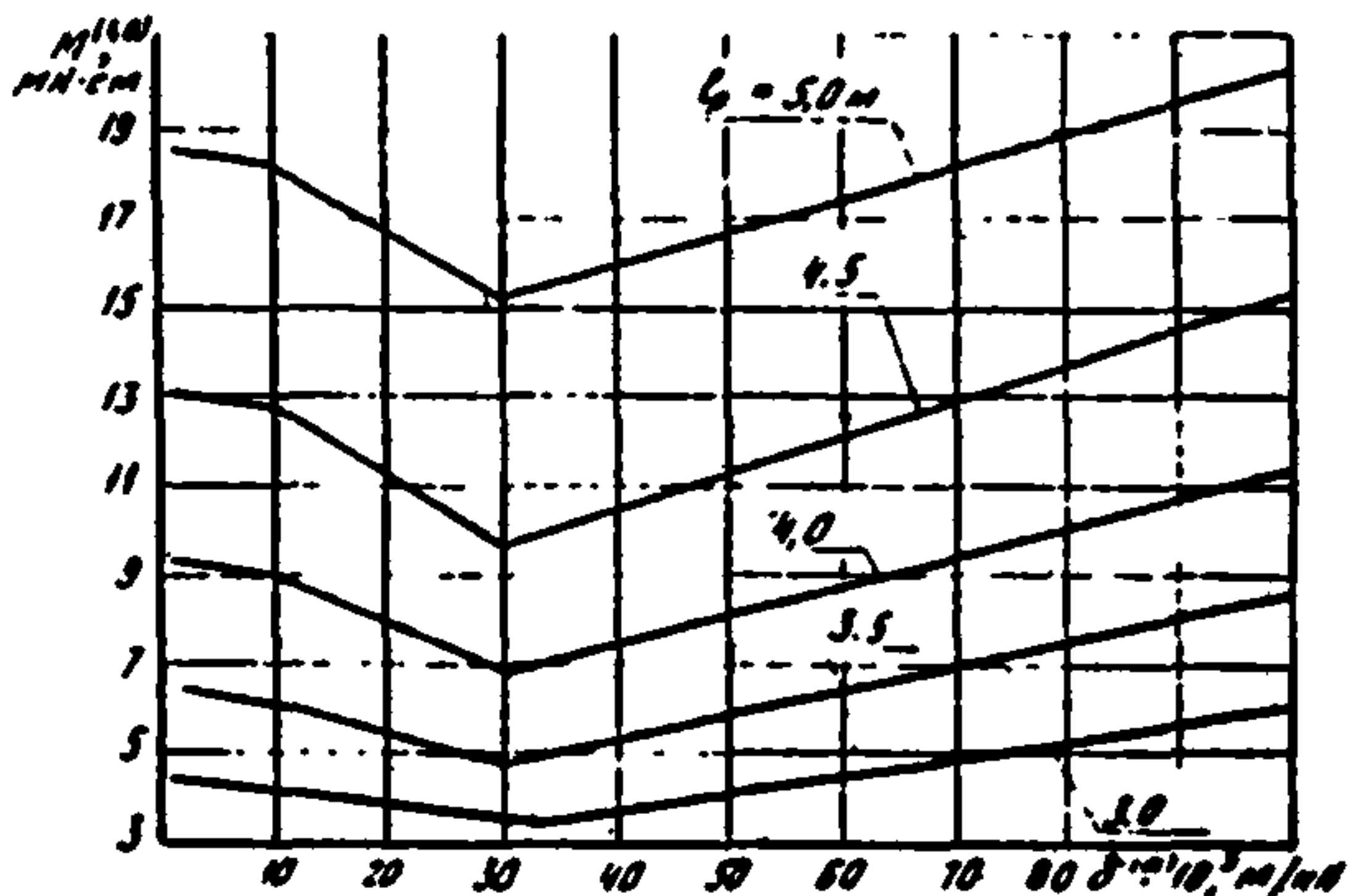


Рис.2. График для определения значений изгибающих моментов в зависимости от коэффициента упругой податливости опирания труб на поддерживающий элемент при рабочем пролете от 3 до 5 м

Определение длины нарушенной зоны грунта перед забоем

Ввиду того, что глубина заложения тоннеля превышает 100 м, определение длины нарушенной зоны грунта может быть произведено по упрощенному уравнению (I3)

$$\alpha \approx 56^\circ; l \approx 3,5 \text{ м.}$$

Принимая длину заходки равной 1 м, получаем $l_p = 4,5 \text{ м.}$

Определение допустимого расстояния между осями труб

Приближенное определение допустимого расстояния между осями труб производится по номограмме, изображенной на рис. I настоящего приложения. Для этого проводим на правом графике перпендикуляр от точки $l_p = 4,5 \text{ м}$ до пересечения с кривой, затем от точки пересечения проводим горизонталь до пересечения с вертикальной линией, проведенной на левом графике через точку $M^{(\alpha)} = 3,8 \text{ тс}\cdot\text{м} = 3,8 \text{ МН}\cdot\text{см}$. Значения α наклонных прямых левого графика, находящихся справа от полученной точки пересечения, являются допустимыми. Наиболее близкой к точке пересечения является прямая, соответствующая $\alpha = 0,25 \text{ м.}$

Следовательно, $\alpha_{max}^{Op} = 0,25 \text{ м.}$

Определение параметров поддерживающих элементов

Анализ работы поддерживающих элементов, представленных стальными арками, производится по уравнению (I8). При этом определяют величину максимально допустимого шага поддерживающего элемента a

учетом характера изменения величины действующих усилий в зависимости от расстояния до границы нарушенной зоны грунта. На рис.3 изображен график зависимости максимального шага поддерживающих элементов от величины отставания рассматриваемого участка от рабочего пролета.

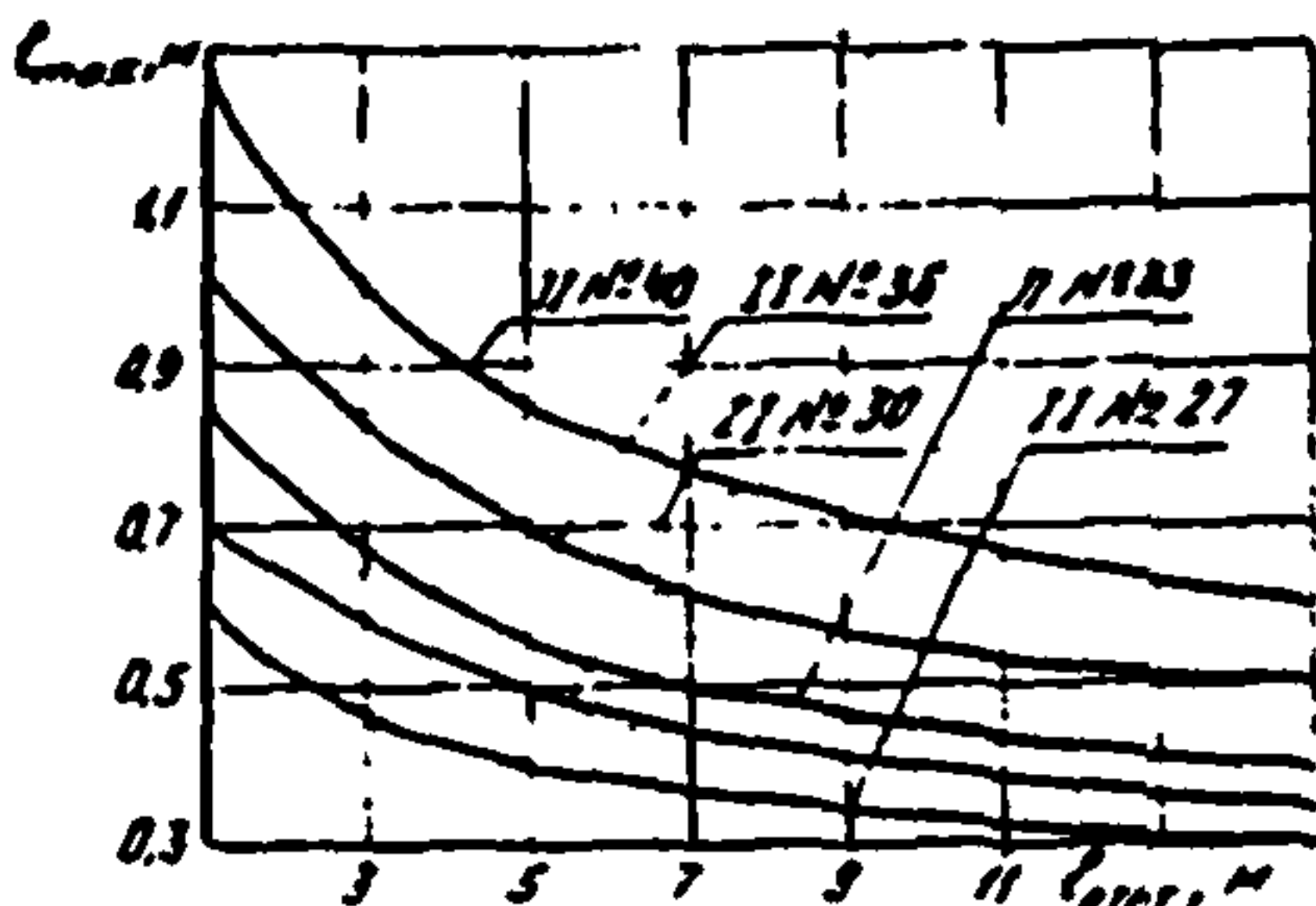


Рис.3. График зависимости максимального шага поддерживающих элементов от величины отставания рассматриваемого участка от рабочего пролета

Поддерживающие элементы, представленные стальной аркой, омоноличенным бетоном, рассчитывают как внецентрично сжатые элементы в соответствии со СНиП 2.03.01-84 ("Бетонные и железобетонные конструкции"). В условиях строящегося тоннеля могут быть использованы омоноличенные бетоном В22,5 (М300) двутавры № 40, 36, 33 с шагом в 1 м, а также омоноличенные бетоном двутавры № 30 с тем же шагом при отставании от рабочего пролета до 5,5 м и двутавры № 27 при отставании от рабочего пролета до 5 м.

Приложение 3
Справочное

**ХАРАКТЕРИСТИКИ БУРОВОГО ОБОРУДОВАНИЯ, ИСПОЛЬЗУЕМОГО
ДЛЯ СОЗДАНИЯ ЭКРАНОВ ИЗ ТРУБ**

Буровая установка	Глубина бурения, м	Максимальный диаметр скважины, мм	Направление к горизонтали, град
УЛБ-130	130 (80)	210	±10
СБА-500	500	141	0-360
УКБ-200-300	300	132	0-360
БСК-2М-100	100	93	0-360
МГБ-2	100	180	0-15
НКР-100м	100	105	0-360
"TOP-LS"	1000	165	0-30
"Тонэ-Боринг" (Япония)	1000	165	0-30
УЕС	130	210	0-10

Приложение 4
Рекомендуемое

ПРОИЗВОДСТВО РАБОТ ПРИ СООРУЖЕНИИ
ЖЕЛЕЗНОДОРОЖНОГО ТОННЕЛЯ

I. Бурение скважин без обсадки

Применение данной технологии возможно только в грунтах, стени скважин в которых не осыпаются.

С технологической тележки, установленной на буровой раме "Фуркува" станком НКР-100 (бурение может вестись центральным молотком с коронкой диаметром 100 мм) бурили скважины диаметром 105 мм и длиной 12 м (см.рис. I2). Распорная колонка станка закреплялась между площадками технологической тележки и сводом тоннеля.

В пробуренные скважины устанавливали трубы с перфорацией на горизонтальном диаметре, через которые производили цементацию грунта вокруг скважин. Цементный раствор нагнетали снизу вверх под давлением до 3 МПа растворонаагнетателем.

Длина участка тоннеля, проходимого под защитой опережающей крепи, составляла 9 м. Длина заходки не превышала 1 м. Разработку грунта в забое вели буровзрывным способом и отбойными молотками. После проходки каждой очередной заходки с помощью домкратов технологической тележки устанавливали поддерживающую арку. По аркам снизу вверх набирали опалубку из досок толщиной 40 мм с одновременной укладкой бетона в обе стороны равномерно, слоями по 0,5 м с тщательным вибрированием бетонной смеси.

Ниже приведен перечень основного оборудования и основных объемов работ на устройство экрана из труб двухштучного железнодорожного тоннеля (табл. I-4).

Т а б л и ц а I
Основное оборудование

№/п	Наименование, тип, марка	Количество, шт.	Техническая характеристика	Примечание
I	Буровая рама "Тамрок" или "Фурукава"	I	Расход сжатого воздуха на 1 м ³ породы 0,333 м ³ /мин	
2	Породопогрузчик "Катерпиллер"	I	$N_{g\delta} = 125 \text{ кВт}$	Снабжен газоочистителем
3	Бульдозер "Катерпиллер"	I	$N_{g\delta} = 125 \text{ кВт}$	То же
4	Породопогрузочная машина ПНБ-ЗД	I	$N_{g\delta} = 94 \text{ кВт}$	
5	Автопоезд МАЗ-640II	3	$N_{g\delta} = 147 \text{ кВт}$	- " -
6	Автобетоносмеситель СБ-92 (СБ-69)	2	Вместимость барабана 3,5 (2,6) м ³ Давление 5 МПа	- " -
7	Растворонагнетатель НГР-250/50	I	$N = 26 \text{ кВт}$	
8	Перфоратор ПР-30 Л с пневмоподдержкой ИЛ-18	4	Расход сжатого воздуха 3,5 м ³ /мин	
9	Вибратор ИВ-66	4	$N = 0,6 \text{ кВт}$	
10	Станок НКР-100 м	2	$L = 100 \text{ м};$ $\Theta = 105 \text{ мм}$	
II	Отбойный молоток МО-10	15	Расход сжатого воздуха 1,15 м ³ /мин	

Т а б л и ц а 2
Основные объемы работ

Работы	Единица измерения	Количество
Устройство опережающей крепи (на I секцию 12 м)		
Бурение скважин Ø 105 мм станком НКР-100	шт / м	25/300
Установка перфорированных труб Ø 76 мм $\ell = 12 \text{ м}$	шт / кг	25/2130
Нагнетание цементного раствора состава I:2	м^3	16
Проходка I м тоннеля сечением $F_{cp} = 121,8 \text{ м}^2$		
Разработка породы отбойными молотками	м^3	122
Погрузка породы	м^3	122
Установка арок временной крепи	шт / кг	1,0/1240
Устройство опалубки из досок $t = 40 \text{ мм}$ (разборка)	м^2	29,3
Устройство торцовой опалубки из досок $t = 40 \text{ мм}$ (разборка)	м^2	9
Укладка чернового бетона М200	м^3	9

Таблица 3
Работы по устройству опораживающей крепи длиной 12 м

№ п/п	Источник нормирования ЕНиР	Работы	Единица измере- ния	Количест- во	Норма времени на единицу измере- ния	Продолжитель- ность опера- ции, ч	Продолжи- тельность работ сутки	
I	ШР	Бурение скважин Ø 105 мм станком НКР-100	м	300	0,92	276,0	138	6,75
2	§ 36-2-14 № 2	Первичное нагнета- ние цементного раствора	1 м ³	160*	2,6	41,6	42	1,75
3	§ 36-2-106 т.2, "3"	Контрольное нагне- тание цементного раствора	1 м тонне- ля	12	3,8	45,6	48	7,00
	То же	Вспомогательные работы	-	-	-	-	-	3,50

* Уточняется по факту

Таблица 4

Работы по проходке тоннеля длиной 9 м сечением $F_{ср} = 121,8 \text{ м}^2$
под защитой опораживающей крепи длиной 12 м

№ п/п	Работы	Единица измерения	Количество	Продолжительность работ, сутки
I	Устройство опораживающей крепи ¹	м	120	7
2	Проходка тоннеля отбойными молотками	м/м ³	9/110	12

I Средняя скорость проходки с опораживающей крепью $\frac{9 \times 24,5}{19} \approx 12 \text{ м/мес}$

2. Применение технологии, предусматривающей бурение с обсадкой в протяженных зонах слабоустойчивых грунтов

Один или два буровых станка БАМ-2 фирмы "Тонэ-Боринг" размещали на специальных металлических подмостях при отсутствии на буровой раме опережающего козырька (рама фирмы "Тамрок") или на козырьке (рама фирмы "Фурукава"). Под козырек подставляли стойки с опиранием их на подошву выработки. Перед бурением станок устанавливали на металлической раме, размещенной на шпальной клетке. По мере бурения скважин и их обсадки осуществляли подлокачивание рамы со станком на необходимый горизонт.

Скважины бурили по периметру свода. После проходки скважин извлекали буровой став с пневмоударником, в обсадную трубу вставляли трубу опережающего экрана и извлекали обсадную трубу.

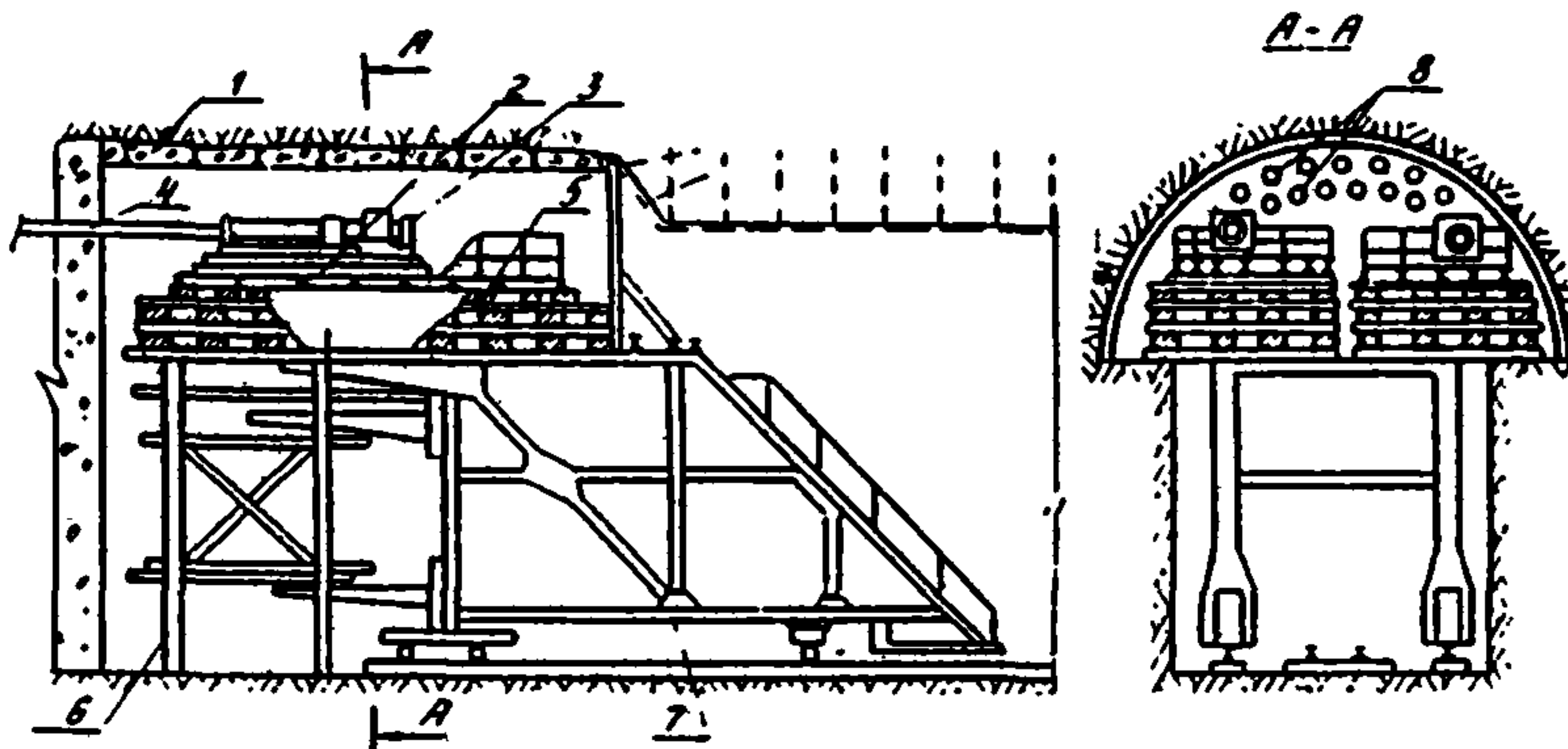
Работы по инъектированию грунта и проходке тоннеля вели в той же последовательности, что и в п. I настоящего приложения.

Набор основного оборудования такой же кроме замены станка НКР-100 на буровой станок фирмы "Тонэ-Боринг"

3. Бурение с обсадкой в зонах тектонических разломов

Не доходя 5 м до зоны разлома, разрабатывали камеру длиной 10-II м. Бурение скважин начинали из камеры после установки станков на шпальные клетки, расположенные на верхнем козырьке буровой рамы. Скважины бурили сверху вниз двумя станками независимо друг от друга. Вначале бурили верхние центральные скважины одним станком, установленным на обе рамы. По мере бурения скважин и их обсадки рамы поднимали домкратами, а также осуществляли разборку части шпальной клетки и опускание рамы со станком на необходимый горизонт. Для восприятия реактивной силы, возникающей при бурении, в конце камеры устанавливали стойки из пакета дутавров, на которые через распорки передавали давление от рам станков. Скважины забуривали горизонтально (рисунок). Работы по инъектированию грунта и проходке под экраном производили аналогично описанным в п. I настоящего приложения. Разработку забоя вели способом нижнего

уступа. При разработке нижнего уступа арки поддерживали рандбалкой либо предварительно в штольнях под них подводили стены.



Технологическая схема возведения экрана из камеры:

I - арочно-бетонная крель; 2 - рама; 3 - буровой станок;
4 - труба защитного экрана; 5 - шпальная клетка; 6 - цэдпорная
рама; 7 - буровая рама; 8 - защитный экран

Набор основного оборудования и основные объемы работ на устройство экрана из труб длиной 25-30 м при строительстве однопутного железнодорожного тоннеля приведены в табл.5 и 6.

Таблица 5

Основное оборудование

Наименование, тип, марка	Коли-чество	Характеристика	Примечание
Буровая рама "Фурукава"	1	Расход сжатого воздуха 40 м ³ /мин	
Буровой станок БАМ-2	2	Масса 5 т	
Перфоратор ПР-30 Л	2	Расход сжатого воздуха 3,5 м ³ /мин	
Пневмоподдержка П-18 ЛА	2	Расход сжатого воздуха 0,1 м ³ /мин	
Перфоратор ПТ-45	2	Расход сжатого воздуха 4 м ³ /мин	

Продолжение табл. 5

Наименование тип, марка	Количество	Характеристика	Примечание
Лебедка: П-10 пневматическая	I	Грузоподъемность 10 т	Для подъ- ема труб
	I	Грузоподъемность 2 т	В комп- лекте с буровой рамой

Т а б л и ц а 6

Основные объемы работ

Работа	Единица измере- ния	Количест- во	Примечание
Бурение скважин под обсадные трубы	м	1950	Длина 30 м Ø 165 мм
Установка обсадных труб	м	1950	65 мм
Установка стоек, опорных балок, укосин	м/кг	650/23700	I № 30
Устройство шпальной клетки	м ³	15	Брус 20x20 см
Устройство настила на рамы под станки	м ² /м ³	50/2	Доски $t = 40$ мм

Приложение 5
Рекомендуемое

ПРОИЗВОДСТВО РАБОТ ПРИ СООРУЖЕНИИ
РАЗВЕДОЧНО-ТРАНСПОРТНО-ДРЕНАЖНОЙ ШТОЛЬНИ

Сооружение камеры для устройства
экрана до разлома

В конце технологической тележки горнопроходческого комплекса (ГПК) устраивали камеру для размещения породопогрузочной машины. В камеру перемещали породопогрузочную машину. Затем отсоединяли технологическую тележку ГПК и отгоняли от щита за пределы камеры с породопогрузочной машиной.

Демонтировали кольца обделки за щитом и разрабатывали камеру для устройства станком БАМ-2 опережающего свода из труб. Разработку грунта вели буровзрывным способом, бурение шурпов - ручными перфораторами, погрузку породы - породопогрузочной машиной ШПБ-3Д в вагоны ВПК-7.

В камере на металлические рамы, расположенные на шпальной клетке, устанавливали два буровых станка БАМ-2. Перемещение их в вертикальной плоскости осуществляли с помощью домкратов, находящихся по углам рам. В поперечном направлении станки перемещали по рамкам с помощью лебедки грузоподъемностью 2 т через блочки, закрепленные в стенах камеры. Сами лебедки крепили на рамках.

Из камеры станками БАМ-2 бурили скважины с установкой в них труб экрана. Экран устраивали вокруг разведочно-транспортно-дренажной штольни и подходкой штольни к ротору, за исключением лотковой части (рис. I). Через трубы в грунтовый массив инъектировали цементный раствор. Под концы труб устанавливали двутавровые арки и омоноличивали их бетоном.

Под прискрытием экрана из труб проходили обходную штольню для расчистки ротора ГПК.

После сооружения штольни на всю длину выставляли унтерцуг из двутавровых балок и разрабатывали проем для очистки ротора. Затяжку кровли производили за скобы, приваренные к трубам опережающего экрана. Затем бетонировали на всю длину правую стенку подходкой штольни.

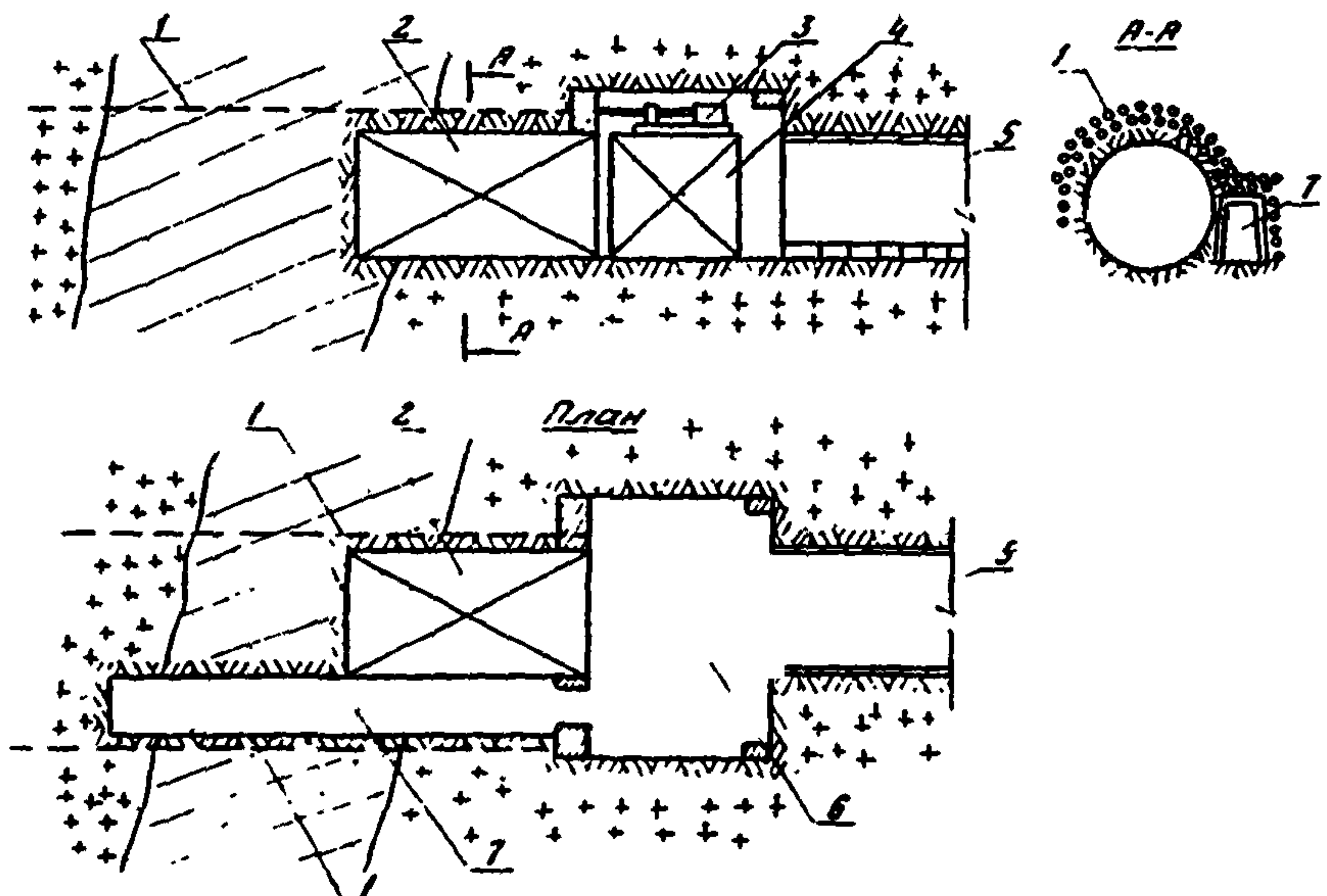


Рис. I. Технологическая схема устройства экрана над проходческим щитом из камеры перед разломом:
 1 - трубы экрана; 2 - проходческий щит; 3 - буровой станок;
 4 - подмости; 5 - выработка тоннеля; 6 - камера; 7 - обходная штольня

На всю длину камеры с закреплением к продольным балкам из старогодных рельсов устанавливали предлотковые блоки. Устанавливали закладные стойки для крепления вторых от лотка блоков. Бетонировали пазухи между блоками и выработкой на высоту первого предлоткового блока. Устанавливали вторые блоки с креплением к закладным деталям и бетонировали пазухи на высоту вторых блоков. Продольные балки раскрепляли монтажными элементами по месту.

Проем входа в штольню раскрепляли рамой из двутавра № 30 и распорками из труб диаметром 325 мм и бетонировали совместно со стенками.

Присоединяли технологические тележки.

В обходной штольне устраивали три перемычки из круглого леса для предотвращения выноса песчаной массы в штольню при раскручивании ротора ГПК, после чего начинали проходку ГПК.

Набор основного оборудования и основные объемы работ на экран из труб длиной 25 м приведены в табл. I и 2.

Т а б л и ц а I
Перечень основного оборудования

Оборудование	Количество, шт.	Краткая характеристика
Породопогрузочная машина ПНЬ-ЗД	I	Произв. $60 \text{ м}^3/\text{ч}$ $N_{\Delta\theta} = 136 \text{ кВт}$
Электровоз АМ-8Д	2	$N_{\Delta\theta} = 24 \text{ кВт}$, масса 8 т
Вагон ВНК-7	6	Расход сжатого воздуха $23 \text{ м}^3/\text{мин}$, вместим. 7 м^3
Отбойный молоток МО-10	6	Расход сжатого воздуха $1,25 \text{ м}^3/\text{мин}$
Перфоратор ПР-30Л	4	Расход сжатого воздуха $3 \text{ м}^3/\text{мин}$
Пневмоподдержка ПЖ-1	4	Подъемное усилие 0,94 кН
Буровой станок БАМ-2	2	$N_{\Delta\theta} = 65 \text{ кВт}$ Расход воды $60 \text{ л}/\text{мин}$
Пневмобетононасос "Скрю-Крат"	2	Раб. давл. $0,15 \text{ МПа}$ $V = 3 \text{ м}^3$, $N = 11 \text{ кВт}$
Насос для нагнетания цементного раствора	2	Раб. давл. $1,5 \text{ МПа}$
Лебедка 2ЛС-30	I	$N_{\Delta\theta} = 30 \text{ кВт}$
Лебедка ЛПЭ-5/500	I	Грузоподъемность 5 т
Буровой станок "Диамек-250"	I	$N_{\Delta\theta} = 41 \text{ кВт}$ Расход воды $5 \text{ л}/\text{мин}$

Таблица 2
График работ по проходке ГПК "Роббинс" зоны разлома

№ п/п	Работы	Единица измерения	Количество	Продолжительность работ, сут.
I	Разработка камеры № I для ПНБ-ЗД	м ³	110,0	I
2	Демонтаж колец из железобетонных блоков блокоукладчиком	шт.	7,0	3
3	Отгон технологической тележки ГПК "Роббинс"	м	80,0	1,5.
4	Разработка камеры № 2 для станка БАМ-2	м ³	95,0	I
5	Расширение РДШ	м ³	297,0	7,3
6	Бурение скважин опережающей крепи с учетом перестановки станков	м	1750,0	26,2 ^{***}
7	Устройство торцевой стенки из бетона	м ³	25,7	3
8	Проходка подходкой штольни $S = 5,1 \text{ м}^2$; $\ell = 11,0 \text{ м}$	м ³	56,0	5
9	Монтаж колец из железобетонных блоков	шт.	8,0	4
10	Бетонирование опорных стен в камере (в штольне)	м ³	52,8/26,4	4
II	Подгон технологических тележек и подготовка к работе	м	80,0	2
I2	Расчистка ротора ГПК "Роббинс"	м ³	-	2

* Работы выполняются последовательно.

** Из условия бурения скважин длиной 25 м двумя станками при скорости бурения до 10 м/смену и 0,5 смены на каждую передвижку.

2. Сооружение камеры для устройства экрана за разломом

Такой способ возможен, если забой тоннеля остановлен перед тем же разломом, что и штольня.

Вначале в разломе с заглублением в скалу проходили нижнюю левую штольню в теле тоннеля (рис.2). Из штольни проходили на-клонную штольню на 0,9 м за ось разведочно-транспортно-дренажной

штольни в габаритных размерах камеры. Производили зачистку подошвы, установку опалубки из досок и бетонирование подпоркой стены толщиной 1,0-1,5 м на всю высоту и ширину будущей камеры со стороны ротора. По мере бетонирования в стену закладывали трубы для сброса воды.

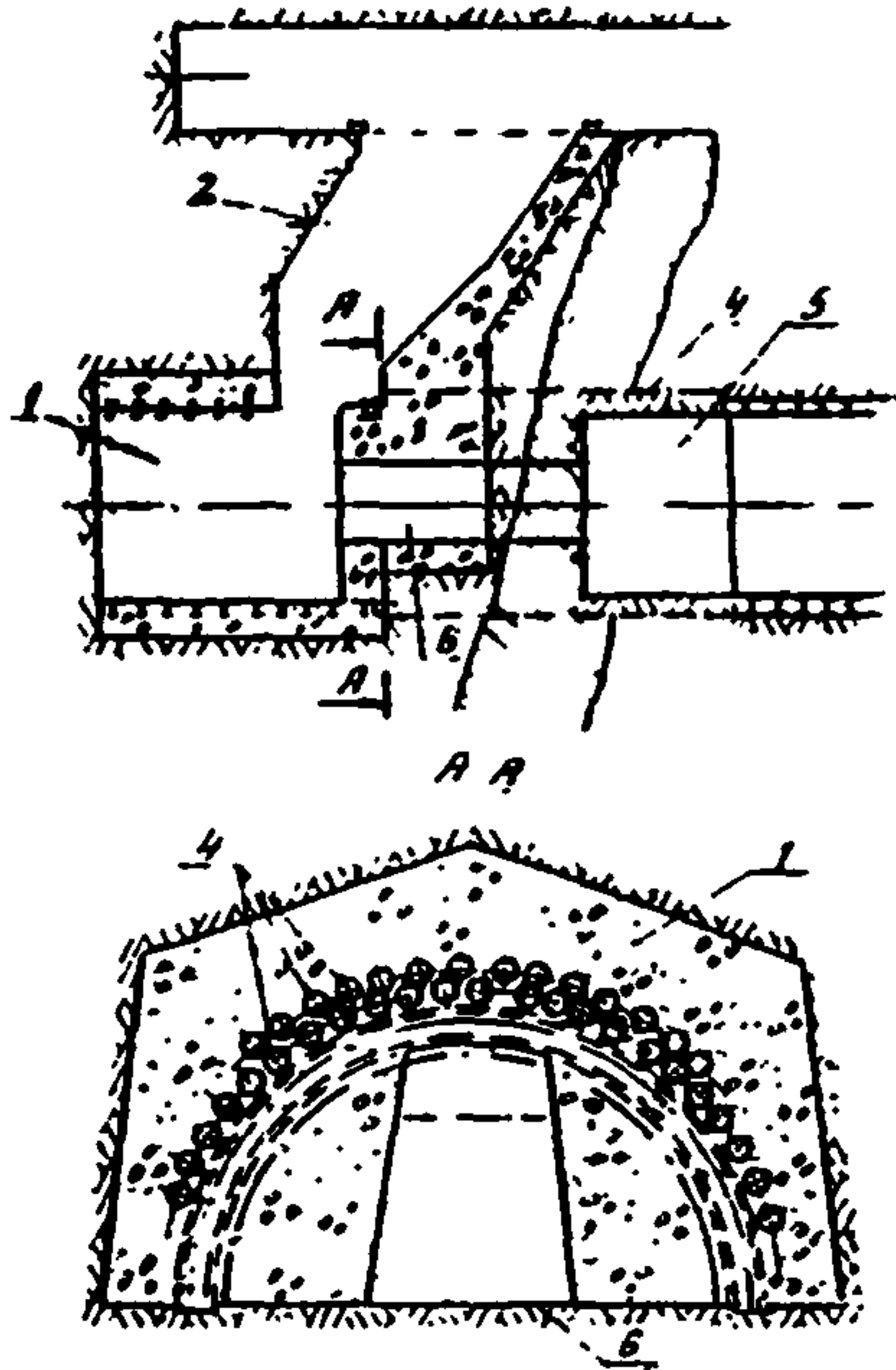


Рис.2. Технологическая схема устройства экрана над щитом из камеры навстречу щиту:
1 - буровая камера; 2 - подходящая выработка; 3 - левая нижняя штольня; 4 - трубы экрана; 5 - проходческий щит; 6 - подходная штольня

После набора бетоном необходимой прочности опалубку снимали и продолжали разработку пророзкой в габарите камеры до ее противоположного борта. После проходки прорезной щели под рамы временного крепления подводили унтерцуг из двутавра, а ножки рам демонтировали. Затем сооружали камеру. В камере с использованием скреперной лебедки по частям монтировали станок БАМ-2 на шпальной клетке. Станком из камеры бурили скважины и устанавливали в них трубы опереканного крепления, через которые в грунтовый массив инъецировали цементный раствор. По мере бурения скважин станок поднимали на шпальной клетке из бруса

Из камеры под прикрытием экрана из труб разрабатывали подходную штольню к ротору щита с раскрытием калотты. Расчищали ротор и возобновляли проходку

СОДЕРЖАНИЕ

ПРЕДИСЛОВИЕ	3
1. ОБЩИЕ ПОЛОЖЕНИЯ	4
2. ОБЛАСТИ ПРИМЕНЕНИЯ ОПЕРЕКАДИХ ЗАЩИТНЫХ ЭКРАНОВ ИЗ ТРУБ	4
3. КОНСТРУКЦИИ ЗАЩИТНЫХ ЭКРАНОВ ИЗ ТРУБ	5
4. РАСЧЕТ ЭЛЕМЕНТОВ ЗАЩИТНОГО ЭКРАНА	6
5. ТЕХНОЛОГИЯ И ОРГАНИЗАЦИЯ РАБОТ ПО СООРУЖЕНИЮ ОПЕРЕКАДИХ ЗАЩИТНЫХ ЭКРАНОВ ИЗ ТРУБ	15
6. МЕРОПРИЯТИЯ ПО ОХРАНЕ ТРУДА И ТЕХНИКЕ БЕЗОПАСНОСТИ	22
ПРИЛОЖЕНИЯ:	
1. Характеристики грунтов и труб, используемые при расчете параметров конструкций защитного экрана	24
2. Пример расчета параметров конструкции оперекадого экрана из труб	27
3. Характеристики бурового оборудования, используемого для создания экранов из труб..	33
4. Производство работ при сооружении железнодорожного тоннеля	34
5. Производство работ при сооружении разведочно-транспортно-дренажной штольни	41

Редактор Н.Э.Букова
Корректор О.Д.Сухова
Технический редактор Г.С.Митрохина

Подп. к печ. 3.02.88.

Заказ 79

Объем 3,0 п.л. Тираж 165 экз. Цена 45 коп.

Ротапринт ЦНИИСа